

## ระเบียบวิธีวิจัย

### วิธีการวิจัยในภาพรวม

1. ออกแบบอนุพันธ์คูมาริน โดยการดัดแปลงความยาวของตัวเชื่อมระหว่างโครงสร้างหลักคูมารินกับหมู่ที่มีคุณสมบัติเป็นค่าคงที่ หรือดัดแปลงโครงสร้างโดยเปลี่ยนหมู่ที่มีคุณสมบัติเป็นค่าคงที่ให้มีคุณสมบัติที่แตกต่างกันเพื่อศึกษาความสัมพันธ์ระหว่างคุณสมบัติที่เปลี่ยนไปกับฤทธิ์ทางเภสัชวิทยา
2. วางแผนการสังเคราะห์สารที่ถูกออกแบบขึ้นมา
3. สังเคราะห์โมเลกุลที่ถูกออกแบบ
4. พิสูจน์เอกสารণพิสัยทางโครงสร้างของสารที่สังเคราะห์ด้วยเทคนิค spectromet
5. ทดสอบฤทธิ์บั้งยั้งการทำงานของเอนไซม์อะเซチลโคลีนอสเทอเรส และ/หรือเอนไซม์บิวไทริลโคลีนอสเทอเรส
6. ทดสอบฤทธิ์ทางเภสัชวิทยาในเซลล์สมองเพาะเลี้ยง (primary neuronal cultures) และในสัตว์ทดลอง (*in vivo*)
7. สรุปและรายงานผลที่ได้รับจากการวิจัย

### หลักการ และแนวคิดในการออกแบบอนุพันธ์คูมาริน

เอนไซม์อะเซチลโคลีนอสเทอเรส (Acetylcholinesterase) สามารถพบได้ที่สมอง กล้ามเนื้อ โดยหน้าที่หลักของเอนไซม์นี้ คือ การ hydrolyze acetylcholine ให้อย่างรวดเร็วที่ปลายประสาท cholinergic ซึ่งพบว่า สามารถ hydrolyze acetylcholine ได้เร็วกว่าสารสื่อประสาทนิคอื่นๆ ส่วนเอนไซม์บิวไทริลโคลีนอสเทอเรส (Butyrylcholinesterase) เรายังพบในส่วนของพลาสมา และยังสามารถพบได้ตามอวัยวะต่างๆ ได้แก่ ตับ ลำไส้ หัวใจ และปอด เป็นต้น จัดเป็นเอนไซม์ที่มีหน้าที่สำคัญในการ hydrolyze acetylcholine ด้วย หากร่างกายขาดเอนไซม์บิวไทริลโคลีนอสเทอเรส(Butyrylcholinesterase)ไปก็จะไม่ส่งผลให้เกิดความผิดปกติของการทำงานที่ใดๆ ในร่างกาย

ในสมองคนปกติอัตราส่วนของการทำงานของเอนไซม์อะเซチลโคลีนอสเทอเรส (Acetylcholinesterase) ต่อเอนไซม์บิวไทริลโคลีนอสเทอเรส (Butyrylcholinesterase) เป็น 99:1 แต่ในสมองของผู้ป่วยโรคอัลไซเมอร์พบว่ามีระดับและการทำงานของเอนไซม์อะเซチลโคลีนอสเทอเรส (Acetylcholinesterase) ลดลง ในขณะที่ระดับและการทำงานของเอนไซม์บิวไทริลโคลีนอสเทอเรส (Butyrylcholinesterase) เพิ่มขึ้น ทำให้อัตราส่วนการทำงานของเอนไซม์อะเซチลโคลีนอสเทอเรส (Acetylcholinesterase) ต่อเอนไซม์บิวไทริลโคลีนอสเทอเรส (Butyrylcholinesterase) เป็น 65:35 หรือ 2:1 เนื่องจาก amyloid plaques และ neurofibrillary tangles รวมทั้ง glial cells ซึ่งเกี่ยวข้องกับกระบวนการอักเสบ สามารถ(Acetylcholinesterase) ในการทำลาย acetylcholine ดังนั้นยาที่มีฤทธิ์บั้งยั้งทั้งสองเอนไซม์อะเซチลโคลีนอสเทอเรส (Acetylcholinesterase) และเอนไซม์บิวไทริลโคลีนอสเทอเรส(Butyrylcholinesterase) จึงน่าจะให้ผลในการรักษาอาการของผู้ป่วยโรคอัลไซเมอร์ได้ดีกว่ายาที่บั้งยั้งเพียงเอนไซม์อะเซチลโคลีนอสเทอเรส (Acetylcholinesterase) เพียงอย่างเดียว<sup>(4)</sup>

ในการศึกษาและออกแบบ Cholinesterase inhibitors มีปัจจัยที่ต้องคำนึงถึงมากนัย เช่น molecular volume of the molecule, physicochemical properties และ the geometric properties. X-ray crystal ของ AChE และ BuChE ได้แสดงให้เห็นว่าการเปิดของ gorge size ซึ่งเป็นจุดของเอนไซม์ AChE ที่ acetylcholine จะเข้าสู่

โคลีนอสเทอเรสสายพันธุ์มนุษย์ของสารอนุพันธ์คุมาрин

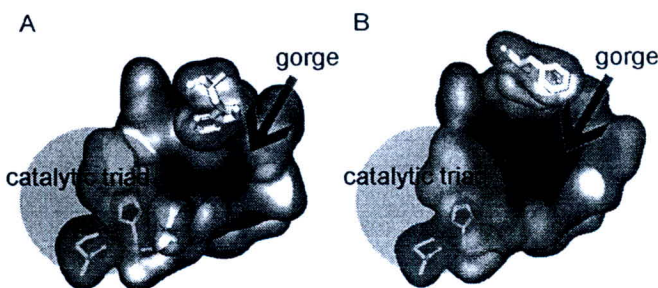
มีความแตกต่างจากของ BuchE ซึ่ง gorge size ของ AChE จะเล็กกว่ามาก (Figure 3-1). นอกจากนั้นยังได้พบว่าขนาดของโมเลกุลมีผลต่อ ChEs inhibitory activity เป็นอย่างมาก หากโมเลกุลมีขนาดใหญ่ เช่น 9-anthrylcarbonyl phenothiazine จะมีฤทธิ์ยับยั้ง BuChE แต่ไม่สามารถยับยั้ง AChE.<sup>15</sup>

จากข้อมูลในตาราง 2-1, ซึ่งแสดงให้เห็นถึง amino acid residue ของเอนไซม์ ChE ซึ่งเป็นจุดสำคัญในการเกิด interaction กับ ligand ค่าๆ amino acid residue Trp279 (AChE) และ Phe278 (BuChE) จะ interacts กับ ligands โดยปฏิกริยา  $\pi-\pi$  interaction. ในส่วนของ MGS, สามารถแบ่งความแตกต่างของ interaction ระหว่าง amino acid residue ของเอนไซม์ ChE และ ligand ได้เป็นสองชนิด ได้แก่ cation- $\pi$  และ  $\pi-\pi$  interaction อย่างไรก็ตาม amino acid residue Phe330 (AChE) และ Tyr332 (BuChE) จัดเป็น key amino acid สำหรับการเกิด interaction กับ ligand. ในส่วน CS, amino acid residue Trp84 (AChE) และ Phe82 (BuChE) เป็นจุดที่เกิด interaction กับ ligands โดย  $\pi-\pi$  interaction.

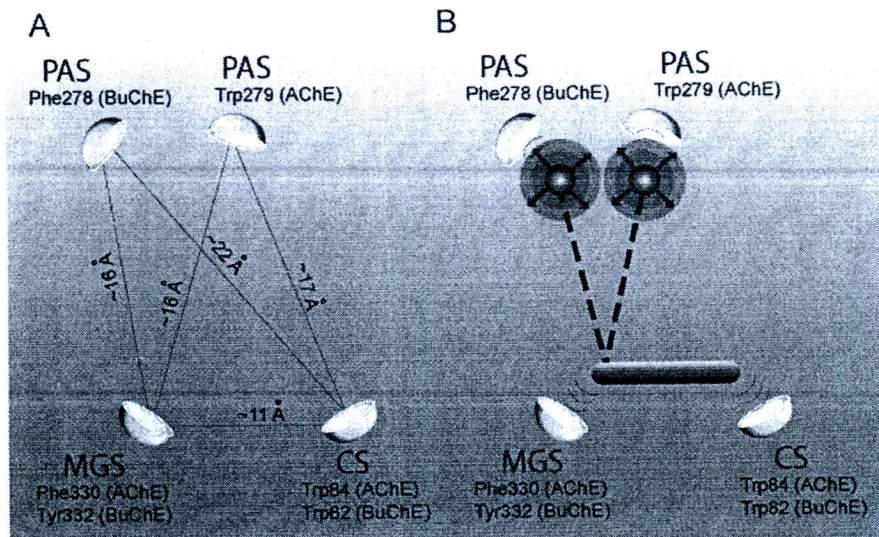
จากที่ได้กล่าวมาเบื้องต้นถึง amino acid residue ของ AChE และ BuChE ที่มีความสำคัญต่อการเกิด interaction กับ ligand ในตำแหน่งต่างๆ เช่น PAS, MSG, และ CS การออกแบบยาจะคำนึงถึงระยะห่างระหว่าง amino acid residue เหล่านี้ ซึ่งระยะห่างของ amino acid residue เหล่านี้ได้แสดงในรูปที่ 10 ซึ่งได้แสดงให้เห็นว่า amino acid ที่ตำแหน่ง PAS และ CS ของเอนไซม์แต่ละชนิด เข่น 17 Å สำหรับ AChE และ 22 Å สำหรับ BuChE. อย่างไรก็ตามระยะห่างจากตำแหน่ง PAS ถึง MGS และระยะห่างจากตำแหน่ง MGS ถึง CS ของเอนไซม์ทั้งสองชนิดมีค่าอ่อนข้างใกล้เคียงกัน (16 Å และ 11 Å, ตามลำดับ). จากผลการศึกษาจึงได้เสนอวิธีการออกแบบ cholinesterase inhibitor ดังนี้

(i) novel inhibitor cholinesterase inhibitor ควรที่จะจับได้ทั้ง acetyl- และ butyrylcholinesterase โดยจับกับ amino acid ที่ตำแหน่ง PAS, CS และ MGS,

(ii) novel inhibitor cholinesterase inhibitor ควร interact กับ amino acid ที่ PAS และ MGS (แต่ไม่ interact กับ CS). ซึ่งการในออกแบบต้องคำนึงถึงความสามารถในการที่จะเข้าถึงส่วน base ของ gorge. ดังนั้น การเพิ่มขึ้นของ molecular volume ในส่วน terminus ของ molecule อาจช่วยเพิ่มประสิทธิภาพในการยับยั้ง ดังแสดงในรูปที่ 1



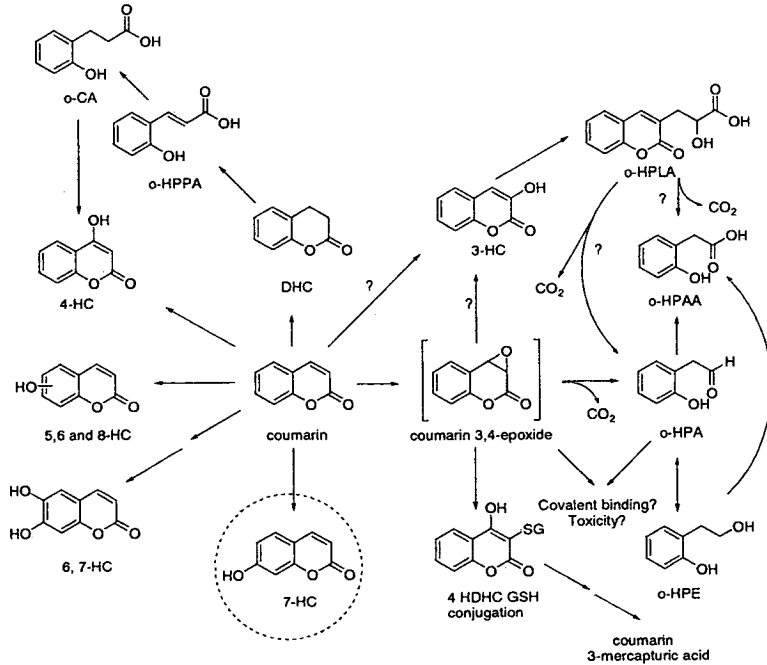
รูปที่ 1. X-ray crystal of both AChE (A) and BuChE (B) showed that the open gorge size which is the entry for acetylcholine of AChE is much smaller than what have found in BuChE



รูป 2. Schematic illustration shows the distances between selected amino acid involved in ligand binding of cholinesterases (A) and proposed design of novel cholinesterase inhibitors which bind non-selectively and interact with amino acid at PAS (B).

จากการศึกษาที่ผ่านมา อนุพันธุ์ของ coumarin ได้แสดงถึงความสามารถในการขับน้ำ AChE เช่น AP2238 ซึ่งสามารถขับน้ำอีนไซม์ AChE ( $IC_{50}$  44.5 nM) ดังแสดงในรูป 2-8 และ ขับน้ำ BuChE โดยมี  $IC_{50}$  เท่ากับ Figure 2-8  $48.9 \times 10^3$  nM<sup>8</sup>. จากการศึกษานี้แสดงให้เห็นว่า coumarin moiety สามารถจับได้อย่างเหมาะสมกับ binding pocket ของทั้ง AChE และ BuChE. ในการศึกษาเปรียบเทียบกับ donepezil ซึ่งเป็น potent AChEI พบว่า AP2238 มีโครงสร้างคล้ายคลึงกับส่วน dihydroindenone moiety ของ donepezil. ยิ่งไปกว่านั้น ได้มีการศึกษาถึงความปลอดภัยของ coumarin ในมนุษย์ ทั้งทางด้าน metabolims, toxicity และ carcinogenicity

Coumarin จัดเป็นสารจากธรรมชาติ จากการศึกษา mutagenic และ genotoxic พบว่า coumarin ไม่เป็น genotoxic agent และในการศึกษา 7-hydroxycoumarin (a major safe metabolite in human) ได้ถูกเลือกให้เป็น core structure ในการศึกษานี้ และในการศึกษานี้เราได้ทำการศึกษาเปรียบเทียบผลของ coumarin moiety ของ 7-hydroxycoumarin เทียบกับ coumarin moieties ต่างๆ ของ 3-substituted-7-hydroxycoumarins. และการแทนที่ตำแหน่งที่ 3 ของ 7-hydroxycoumarin อาจส่งผลป้องกันการเกิด 3,4-coumarin epoxide ซึ่งพบว่าเป็น toxic metabolite ที่เกิดขึ้นได้ใน epoxidation pathway (รูปที่ 3.).



รูปที่ 3. Some pathways of coumarin metabolism. The metabolites shown are 3-, 4-, 5-, 6-, 7- and 8-hydroxycoumarin (3-HC, 4-HC, 5-HC, 6-HC, 7-HC and 8-HC), o-hydroxyphenylacetaldehyde (o-HPA), o-hydroxyphenylethanol (o-HPE), o-hydroxyphenylacetic acid (o-HPAA), o-hydroxyphenyllactic acid (o-HPLA), o-hydroxyphenylpropionic acid (o-HPAA), o-coumaric acid (o-CA), dihydrocoumarin (DHC), 6,7-dihydroxycoumarin (6,7-diHC) and 4-hydroxydihydrocoumarin-glutathione conjugate (4-HDHC±GSH conjugate).

#### กระบวนการสังเคราะห์อนุพันธุ์ coumarin

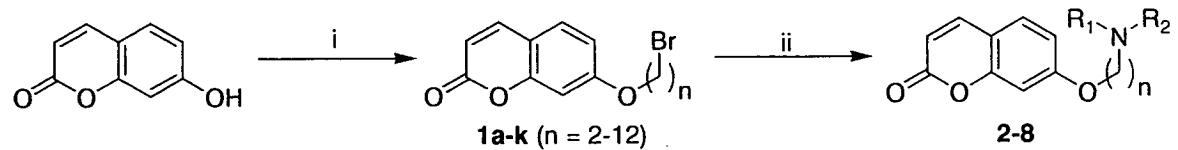
อนุพันธุ์ของ coumarin 8 ชนิด ได้มีการสังเคราะห์ ดังที่ได้แสดงในรูป 4. โดยที่ใช้ 7-hydroxy coumarin เป็นสารตั้งต้นในการสังเคราะห์

- 7-hydroxy-2H-chromen-2-one นำมา alkylated กับ dibromoalkanes โดยในปฏิกิริยาได้เติม potassium carbonate เพื่อให้ได้ 7-bromoalkyloxy-2H-chromen-2-one (**1a-1k**).
- จากนั้น 7-bromoalkyloxy-2H-chromen-2-one จะถูก treated โดย amines ชนิดต่างๆ ได้แก่ piperidine, pyrrolidine, diethylamine, morpholine, methylpiperazine, isoquinoline และ dimethoxy isoquinoline ใน acetone ซึ่งเติม potassium carbonate เพื่อให้ได้สารเป้าหมาย ดังแสดงในรูป **2a-2k, 3a-3c, 4a-4c, 5a-5c, 6a-6c, 7a-7c, 8a-8c**. จากการศึกษาพบว่าผลสารเป้าหมายร้อยละ 65-90

อนุพันธุ์ coumarin อันดับ 9-11 ถูกสังเคราะห์ ดังแสดงในรูป 5. โดยที่ใช้ aldehyde, *o*-vanillin เป็นสารเริ่มต้น และทำการ cyclized ให้เป็น carboxylic derivative ซึ่งจะได้ออนุพันธุ์ coumarin หมายเลขอ 9 โดยมี % yield ร้อยละ 77 และในการสังเคราะห์ได้มีการใช้ Meldrum's reagent และ ammonium acetate เป็น catalyst,

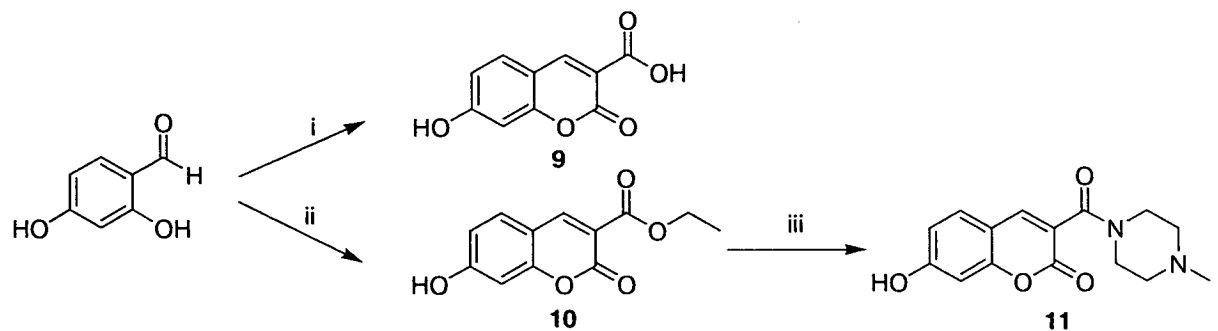
โคลีนเอสเทอร์เรสสายพันธุ์มนุษย์ของสารอนุพันธุ์คูมาริน

จากนั้น *o*-vanillin ถูก cyclized เพื่อให้ได้ซึ่งจะได้ออนุพันธุ์ coumarin ที่เป็น ester form หมายเลข 10 โดยมี % yield ร้อยละ 52 โดยใช้ diethyl malonate และ piperidine ถูกใช้เป็น catalyst. ต่อมาสารอนุพันธุ์ coumarin หมายเลข 11 ถูกสังเคราะห์โดยเปลี่ยน *o*-vanillin ให้เป็น intermediated ester และเปลี่ยนเป็น amide โดยใช้ potassium carbonate เป็น catalyst โดยมี % yield เท่ากับ 5555%



รูปที่ 4. Synthetic Pathway for coumarin derivatives

**Reagents and conditions:** (i)  $\text{Br}-(\text{CH}_2)_n-\text{Br}$ , acetone,  $\text{K}_2\text{CO}_3$ ,  $\Delta$ , 16 h; (ii)  $\text{R}_1-\text{NH}-\text{R}_2$ , acetone,  $\text{K}_2\text{CO}_3$ ,  $\Delta$ .



รูปที่ 5. Synthetic Pathway for 9-11

**Reagents and condition:** (i) Meldrum's acid, ammonium acetate,  $\Delta$ , 4 h; (ii) diethyl malonate, piperidine, r.t., 1 h; (iii) *N*-methylpiperazine,  $\text{K}_2\text{CO}_3$ ,  $\Delta$ , DMF

โคลินเอสเทอเรสสายพันธุ์มนุษย์ของสารอนุพันธุ์คูมาrin

#### สารเคมีที่ใช้ในการทดสอบ

สารเคมีต่างๆได้ถูกสั่งซื้อจาก commercial suppliers ด้วยทำละลายที่ใช้อยู่ในกลุ่ม commercial หรือ AR grade. การทดสอบ Thin-layer chromatography ทำโดยใช้ Merck Kieselgel 60 F<sub>254</sub> และการทดสอบ column chromatography ทำโดยใช้ Merck Kieselgel 60 (0.063-0.200 mm). การศึกษา Melting points ทำโดยใช้ Buchi apparatus (Buchi535). มีการบันทึก H<sup>1</sup> spectra โดยใช้ Bruker/avance ที่ 400 MHz โดยใช้ residual undeuterated solvent peak เป็นตัวเปรียบเทียบ (reference). การทดสอบ Mass spectrometry กระทำโดยใช้เครื่อง Applied Biosystems (API4000).

#### วิธีการสังเคราะห์อนุพันธุ์ coumarin

**7-(2-bromoethoxy)-2H-chromen-2-one (1a).** A stirred suspension of 7-hydroxycoumarin (0.5 g, 3.08 mmol), 1,2-dibromoethane (0.87 g, 4.63 mmol), potassium carbonate (2.13, 15.42 mmol) were added in acetone (75 mL) and heated under reflux condition for 16 h. The mixture was filtered through a celite-packed column, and the solvent was evaporated under reduced pressure. Next, the resulting residue was purified on a silica gel-packed column chromatography (eluted with dichloromethane) to afford the product (**1a**) as a white solid. <sup>1</sup>H NMR (CDCl<sub>3</sub>, δ): 3.67 (t, 2H, J = 6.09 Hz), 4.35 (t, 2H, J = 6.10 Hz), 6.27 (d, 1H, J = 9.49 Hz), 6.81 (d, 1H, J = 2.37), 6.87 (dd, 1H, J = 2.47 and 8.59 Hz), 7.38 (d, 1H, J = 8.60 Hz), 7.64 (d, 1H, J = 9.49 Hz).

**7-(3-bromopropoxy)-2H-chromen-2-one (1b).** Following the previous procedure for the synthesis for **1a** but 7-hydroxycoumarin (0.5 g, 3.08 mmol) and 1,3-dibromopropane (0.93 g, 4.63 mmol) were used. The product was obtained as a white solid after purification with a silica gel-packed column chromatography and eluted with dichloromethane. <sup>1</sup>H NMR (CDCl<sub>3</sub>, δ): 2.24 (m, 2H), 3.41 (t, 2H, J = 6.88 Hz), 4.15 (t, 2H, J = 5.95 Hz), 6.27 (d, 1H, J = 9.49 Hz), 6.81 (d, 1H, J = 2.37), 6.87 (dd, 1H, J = 2.47 and 8.59 Hz), 7.38 (d, 1H, J = 8.60 Hz), 7.64 (d, 1H, J = 9.49 Hz).

**7-(4-bromobutoxy)-2H-chromen-2-one (1c).** Following the previous procedure for the synthesis for **1a** but 7-hydroxycoumarin (10.5 g, 3.08 mmol), 1,4-dibromobutane (0.99 g, 4.63 mmol) were used. The product was obtained as a white solid after purification with a silica gel-packed column chromatography and eluted with dichloromethane. <sup>1</sup>H NMR (CDCl<sub>3</sub>, δ): 1.97–2.01 (m, 2H), 2.05–2.09 (m, 2H), 3.49 (t, 2H, J = 6.54 Hz), 4.05 (t, 2H, J = 6.04 Hz), 6.24 (d, 1H, J = 9.47 Hz), 6.79 (d, 1H, J = 2.34 Hz), 6.82 (dd, 1H, J = 2.38 Hz and 8.54 Hz), 7.36 (d, 1H, J = 8.56 Hz), 7.63 (d, 1H, J = 9.44 Hz).

**7-(5-bromopentyloxy)-2H-chromen-2-one (1d).** Following the previous procedure for the synthesis for **1a** but 7-hydroxycoumarin (10.5 g, 3.08 mmol), 1,5-dibromopentane (0.99 g, 4.63 mmol) were used. The product was obtained as a white solid after purification with a silica gel-packed column chromatography and eluted with dichloromethane. <sup>1</sup>H NMR (CDCl<sub>3</sub>, δ): 1.61–1.66 (m, 2H), 1.82–1.86 (m, 2H), 1.92–1.95 (m, 2H), 3.43 (t, 2H, J = 6.69 Hz), 4.01 (t, 2H, J = 6.30 Hz), 6.22 (d, 1H, J = 9.46 Hz), 6.77 (d, 1H, J = 2.38 Hz), 6.81 (dd, 1H, J = 2.39 Hz and 8.56 Hz), 7.35 (d, 1H, J = 8.59 Hz), 7.62 (d, 1H, J = 9.55 Hz).

**7-(6-bromohexyloxy)-2H-chromen-2-one (1e).** Following the previous procedure for the synthesis for **1a** but 7-hydroxycoumarin (10.5 g, 3.08 mmol), 1,6-dibromohexane (0.99 g, 4.63 mmol) were used. The

**โคลีนเอสเทอเรสสายพันธุ์มนุษย์ของสารอนุพันธุ์คุนาริน**

product was obtained as a white solid after purification with a silica gel-packed column chromatography and eluted with dichloromethane.  $^1\text{H}$  NMR ( $\text{CDCl}_3$ ,  $\delta$ ): 1.51–1.59 (m, 4H), 1.82–1.91 (m, 4H), 3.40 (t, 2H,  $J$  = 6.72 Hz), 4.01 (t, 2H,  $J$  = 6.35 Hz), 6.24 (d, 1H,  $J$  = 9.45 Hz), 6.78 (d, 1H,  $J$  = 2.40 Hz), 6.82 (dd, 1H,  $J$  = 2.42 Hz and 8.54 Hz), 7.36 (d, 1H,  $J$  = 8.56 Hz), 7.62 (d, 1H,  $J$  = 9.46 Hz).

**7-(7-bromoheptyloxy)-2*H*-chromen-2-one (1f).** Following the previous procedure for the synthesis for **1a** but 7-hydroxycoumarin (1.44 g, 8.9 mmol), 1,7-dibromoheptane (4.59 g, 17.8 mmol) were used. The product was obtained as a white solid after purification with a silica gel-packed column chromatography and eluted with dichloromethane.  $^1\text{H}$  NMR ( $\text{CDCl}_3$ ,  $\delta$ ): 1.41–1.49 (m, 6H), 1.80–1.89 (m, 4H), 3.41 (t, 2H,  $J$  = 6.79 Hz), 4.00 (t, 2H,  $J$  = 6.45 Hz), 6.23 (d, 1H,  $J$  = 9.45 Hz), 6.79 (d, 1H,  $J$  = 2.35), 6.83 (dd, 1H,  $J$  = 2.31 and 8.55), 7.35 (d, 1H,  $J$  = 8.56 Hz), 7.63 (d, 1H,  $J$  = 9.44 Hz).

**7-(8-bromoctyloxy)-2*H*-chromen-2-one (1g).** Following the previous procedure for the synthesis for **1a** but 7-hydroxycoumarin (3 g, 18.5 mmol) and 1,8-dibromoocetane (15 g, 55.5 mmol) were used. The product was obtained as a white solid after purification with a silica gel-packed column chromatography and eluted with dichloromethane.  $^1\text{H}$  NMR ( $\text{CDCl}_3$ ,  $\delta$ ): 1.35–1.67 (m, 8H), 1.79–1.83 (m, 2H), 2.01–2.06 (m, 2H), 3.39 (t, 2H,  $J$  = 6.50 Hz), 4.00 (t, 2H,  $J$  = 6.45 Hz), 6.24 (d, 1H,  $J$  = 9.46 Hz), 6.79 (d, 1H,  $J$  = 1.81 Hz), 6.83 (dd, 1H,  $J$  = 2.30 and 8.58 Hz), 7.35 (d, 1H,  $J$  = 8.55 Hz), 7.63 (d, 1H,  $J$  = 9.46 Hz).

**7-(9-bromononyloxy)-2*H*-chromen-2-one (1h).** Following the previous procedure for the synthesis for **1a** but 7-hydroxycoumarin (3.74 g, 23.1 mmol) and 1,9-dibromononane (13.18 g, 46.1 mmol) were used. The product was obtained as a white solid after purification with a silica gel-packed column chromatography and eluted with dichloromethane.  $^1\text{H}$  NMR ( $\text{CDCl}_3$ ,  $\delta$ ): 1.33–1.46 (m, 10H), 1.78–1.88 (m, 4H), 3.40 (t, 2H,  $J$  = 6.84 Hz), 4.00 (t, 2H,  $J$  = 6.51 Hz), 6.23 (d, 1H,  $J$  = 9.51 Hz), 6.79 (d, 1H,  $J$  = 1.81 Hz), 6.83 (dd, 1H,  $J$  = 1.98 and 8.58 Hz), 7.35 (d, 1H,  $J$  = 8.55 Hz), 7.63 (d, 1H,  $J$  = 9.46 Hz).

**7-(10-bromodecyloxy)-2*H*-chromen-2-one (1i).** Following the previous procedure for the synthesis for **1a** but 7-hydroxycoumarin (0.5 g, 3.08 mmol) and 1,10-dibromodecane (1.39 g, 4.63 mmol) were used. The product was obtained as a white solid after purification with a silica gel-packed column chromatography and eluted with dichloromethane.  $^1\text{H}$  NMR ( $\text{CDCl}_3$ ,  $\delta$ ): 1.32–1.37 (m, 8H), 1.41–1.47 (m, 4H), 1.79–1.87 (m, 4H), 3.41 (t, 2H,  $J$  = 6.84 Hz), 4.01 (t, 2H,  $J$  = 6.51 Hz), 6.24 (d, 1H,  $J$  = 9.48 Hz), 6.80 (d, 1H,  $J$  = 2.11 Hz), 6.83 (dd, 1H,  $J$  = 2.32 and 8.51 Hz), 7.35 (d, 1H,  $J$  = 8.52 Hz), 7.63 (d, 1H,  $J$  = 9.47 Hz).

**7-(11-bromoundecyloxy)-2*H*-chromen-2-one (1j).** Following the previous procedure for the synthesis for **1a** but 7-hydroxycoumarin (0.5 g, 3.08 mmol) and 1,10-dibromoundecane (1.46 g, 4.63 mmol) were used. The product was obtained as a white solid after purification with a silica gel-packed column chromatography and eluted with dichloromethane.  $^1\text{H}$  NMR ( $\text{CDCl}_3$ ,  $\delta$ ): 1.32–1.37 (m, 10H), 1.41–1.47 (m, 4H), 1.79–1.87 (m, 4H), 3.41 (t, 2H,  $J$  = 6.84 Hz), 4.01 (t, 2H,  $J$  = 6.51 Hz), 6.24 (d, 1H,  $J$  = 9.48 Hz), 6.80 (d, 1H,  $J$  = 2.11 Hz), 6.83 (dd, 1H,  $J$  = 2.32 and 8.51 Hz), 7.35 (d, 1H,  $J$  = 8.52 Hz), 7.63 (d, 1H,  $J$  = 9.47 Hz).

**7-(12-bromododecyloxy)-2*H*-chromen-2-one (1k).** Following the previous procedure for the synthesis for **1a** but 7-hydroxycoumarin (3.74 g, 23.1 mmol) and 1,9-dibromononane (1.52 g, 4.63 mmol) were

used. The product was obtained as a white solid after purification with a silica gel-packed column chromatography and eluted with dichloromethane.  $^1\text{H}$  NMR ( $\text{CDCl}_3$ ,  $\delta$ ): 1.29–1.50 (m, 16H), 1.77–1.88 (m, 4H), 3.42 (t, 2H,  $J$  = 6.85 Hz), 4.01 (t, 2H,  $J$  = 6.52 Hz), 6.24 (d, 1H,  $J$  = 9.46 Hz), 6.79 (d, 1H,  $J$  = 1.93 Hz), 6.83 (dd, 1H,  $J$  = 2.29 and 8.55 Hz), 7.36 (d, 1H,  $J$  = 8.53 Hz), 7.64 (d, 1H,  $J$  = 9.48 Hz).

**7-(2-(piperidin-1-yl)ethoxy)-2H-chromen-2-one hydrochloride (2a).** A stirred suspension of **1a** (0.2 g, 0.74 mmol), piperidine (0.65 g, 0.74 mmol), and potassium carbonate (0.51 g, 2.95 mmol) were added in acetone (75 mL) and heated under reflux condition for 36 h. The mixture was filtered through a celite-packed column, and the solvent was evaporated under reduced pressure. Purification with acid base extraction and crystallization of the residue from diethyl ether afforded **2a** as a white solid (60% yield), mp 208.3–209.9 °C.  $^1\text{H}$  NMR ( $\text{CDCl}_3$ ,  $\delta$ ): 1.73 (s, 1H), 1.85–1.87 (m, 1H), 1.89–1.90 (m, 2H), 2.23–2.30 (m, 2H), 2.81–2.84 (m, 2H), 3.42–3.45 (m, 2H), 3.67 (s, 1H), 3.68 (s, 1H), 4.67 (s, 1H), 4.68 (s, 1H), 6.27 (d, 1H,  $J$  = 9.51 Hz), 6.81 (d, 1H,  $J$  = 2.12 Hz), 6.87 (dd, 1H,  $J$  = 2.31 and 8.57 Hz), 7.40 (d, 1H,  $J$  = 8.55 Hz), 7.63 (d, 1H,  $J$  = 9.52 Hz). MS,  $m/z$ : 273.9 [M+1]<sup>+</sup>.

**7-(3-(piperidin-1-yl)propoxy)-2H-chromen-2-one hydrochloride (2b).** Following the previous procedure for the synthesis for **2a** but **1b** (0.2 g, 0.67 mmol), piperidine (0.57 g, 6.70 mmol), and potassium carbonate (0.46 g, 3.36 mmol) were used. The mixture was filtered through a celite-packed column, and the solvent was evaporated under reduced pressure. Purification with acid base extraction and crystallization of the residue from diethyl ether afforded **2b** as a white solid (70% yield), mp 216.2–217.4 °C (dec.).  $^1\text{H}$  NMR ( $\text{CDCl}_3$ ,  $\delta$ ): 1.71–2.00 (m, 4), 2.20–2.30 (m, 2H), 3.00–3.10 (m, 2H), 3.33–3.40 (m, 2H), 3.57–3.63 (m, 2H), 4.21–4.30 (m, 2H), 4.82–4.83 (m, 2H), 6.27 (d, 1H,  $J$  = 9.47 Hz), 6.92 (d, 1H,  $J$  = 2.12 Hz), 6.84 (m, 1H), 7.54 (d, 1H,  $J$  = 8.50 Hz), 7.92 (d, 1H,  $J$  = 9.46 Hz). MS,  $m/z$ : 287.8 [M+1]<sup>+</sup>.

**7-(4-(piperidin-1-yl)butoxy)-2H-chromen-2-one hydrochloride (2c).** Following the previous procedure for the synthesis for **2a** but **1c** (0.2 g, 0.67 mmol), piperidine (0.77 g, 6.73 mmol), and potassium carbonate (0.46 g, 3.36 mmol) were used. The mixture was filtered through a celite-packed column, and the solvent was evaporated under reduced pressure. Purification with acid base extraction and crystallization of the residue from diethyl ether afforded **2c** as a white solid (70% yield), mp 216.2–217.4 °C (dec.).  $^1\text{H}$  NMR ( $\text{CDCl}_3$ ,  $\delta$ ): 1.40–1.50 (m, 2H), 1.83–1.94 (m, 6H), 2.31–2.34 (m, 2H), 2.61–2.65 (m, 2H), 2.99–3.02 (m, 2H), 3.55–3.57 (m, 2H), 4.07 (t, 2H,  $J$  = 5.92 Hz), 6.25 (d, 1H,  $J$  = 9.46 Hz), 6.77 (d, 1H,  $J$  = 2.37 Hz), 6.82 (dd, 1H,  $J$  = 2.44 and 8.59 Hz), 7.37 (d, 1H,  $J$  = 8.60), 7.63 (d, 1H,  $J$  = 9.50). MS,  $m/z$ : 301.9 [M+1]<sup>+</sup>.

**7-(5-(piperidin-1-yl)pentyloxy)-2H-chromen-2-one hydrochloride (2d).** Following the previous procedure for the synthesis for **2a** but **1d** (0.2 g, 0.64 mmol), piperidine (0.54 g, 6.43 mmol), and potassium carbonate (0.44 g, 3.21 mmol) were used. The mixture was filtered through a celite-packed column, and the solvent was evaporated under reduced pressure. Purification with acid base extraction and crystallization of the residue from diethyl ether afforded **2d** as a white solid (70% yield), mp 160.1–162.3 °C.  $^1\text{H}$  NMR ( $\text{CDCl}_3$ ,  $\delta$ ): 1.55–1.57 (m, 2H), 1.83–1.90 (m, 6H), 2.00–2.01 (m, 2H), 2.25–2.30 (m, 2H), 2.60–2.63 (m, 2H),

2.92–2.95 (m, 2H), 3.53–3.55 (m, 2H), 4.01 (t, 2H,  $J = 6.09$  Hz ), 6.23 (d, 1H,  $J = 9.45$  Hz), 6.76 (d, 1H,  $J = 2.35$  Hz), 6.82 (dd, 1H  $J = 2.43$  and 8.59 Hz), 7.36 (d, 1H,  $J = 8.61$ ), 7.63 (d, 1H,  $J = 9.49$  ). MS, m/z: 315.8 [M+1]<sup>+</sup>.

**7-(6-(piperidin-1-yl)hexyloxy)-2H-chromen-2-one hydrochloride (2e).** Following the previous procedure for the synthesis for **2a** but **1e** (0.2 g, 0.62 mmol), piperidine (0.53 g, 6.22 mmol), and potassium carbonate (0.42 g, 3.08 mmol) were used. The mixture was filtered through a celite-packed column, and the solvent was evaporated under reduced pressure. Purification with acid base extraction and crystallization of the residue from diethyl ether afforded **2e** as a white solid (75% yield), mp 153.8–155.1 °C (dec.). <sup>1</sup>H NMR ( $\text{CDCl}_3$ ,  $\delta$ ): 1.41–1.45 (m, 2H), 1.52–1.56 (m, 2H), 1.80–1.96 (m, 8H), 2.30–2.35 (m, 2H), 2.60–2.68 (m, 2H), 2.89–2.93 (m, 2H), 3.50–3.55 (m, 2H), 4.00 (t, 2H,  $J = 6.20$  Hz ), 6.24 (d, 1H,  $J = 9.48$  Hz), 6.77 (d, 1H,  $J = 2.30$  Hz), 6.82 (dd, 1H  $J = 2.39$  and 8.58 Hz), 7.36 (d, 1H,  $J = 8.59$ ), 7.63 (d, 1H,  $J = 9.48$  ). MS, m/z: 329.9 [M+1]<sup>+</sup>.

**7-(7-(piperidin-1-yl)heptyloxy)-2H-chromen-2-one hydrochloride (2f).** Following the previous procedure for the synthesis for **2a** but **1f** (0.25 g, 0.74 mmol), piperidine (0.63 g, 7.40 mmol), and potassium carbonate (0.51 g, 3.68 mmol) were used. The mixture was filtered through a celite-packed column, and the solvent was evaporated under reduced pressure. Purification with acid base extraction and crystallization of the residue from diethyl ether afforded **2f** as a white solid (80% yield), mp 142.8–143.8 °C . <sup>1</sup>H NMR ( $\text{CDCl}_3$ ,  $\delta$ ): 1.39–1.41 (m, 6H), 1.77–1.92 (m, 8H), 2.30–2.38 (m, 2H), 2.60–2.68 (m, 2H), 2.89–2.95(m, 2H), 3.55–3.60 (m, 2H), 4.00 (t, 2H,  $J = 6.38$  Hz ), 6.23 (d, 1H,  $J = 9.47$  Hz), 6.78 (d, 1H,  $J = 2.36$  Hz), 6.82 (dd, 1H  $J = 2.37$  and 8.58 Hz), 7.36 (d, 1H,  $J = 8.59$ ), 7.63 (d, 1H,  $J = 9.50$  ). MS, m/z: 343.7 [M+1]<sup>+</sup>.

**7-(8-(piperidin-1-yl)octyloxy)-2H-chromen-2-one hydrochloride (2g).** Following the previous procedure for the synthesis for **2a** but **1g** (0.25 g, 0.71 mmol), piperidine (0.81 g, 9.47 mmol), and potassium carbonate (0.51 g, 3.68 mmol) were used. The mixture was filtered through a celite-packed column, and the solvent was evaporated under reduced pressure. Purification with acid base extraction and crystallization of the residue from diethyl ether afforded **2g** as a white solid (80% yield), mp 110.7–112.8 °C . <sup>1</sup>H NMR ( $\text{CDCl}_3$ ,  $\delta$ ): 1.36–1.45 (m, 8H), 1.70–1.84 (m, 8H), 2.25–2.30 (m, 2H), 2.55–2.60 (m, 2H), 2.87–2.91(m, 2H), 3.51–3.55 (m, 2H), 4.00 (t, 2H,  $J = 6.40$  Hz ), 6.23 (d, 1H,  $J = 9.44$  Hz), 6.78 (d, 1H,  $J = 2.36$  Hz), 6.82 (dd, 1H  $J = 2.37$  and 8.58 Hz), 7.36 (d, 1H,  $J = 8.59$ ), 7.63 (d, 1H,  $J = 9.50$  ). MS, m/z: 357.9 [M+1]<sup>+</sup>.

**7-(9-(piperidin-1-yl)nonyloxy)-2H-chromen-2-one hydrochloride (2h).** Following the previous procedure for the synthesis for **2a** but **1h** (0.25 g, 0.68 mmol), piperidine (0.78 g, 9.13 mmol), and potassium carbonate (0.51 g, 3.68 mmol) were used. The mixture was filtered through a celite-packed column, and the solvent was evaporated under reduced pressure. Purification with acid base extraction and crystallization of the residue from diethyl ether afforded **2h** as a white solid (80% yield), mp 143.3–144.1 °C . <sup>1</sup>H NMR ( $\text{CDCl}_3$ ,  $\delta$ ): 1.34–1.45 (m, 10H), 1.80–1.95 (m, 8H), 2.25–2.30 (m, 2H), 2.55–2.60 (m, 2H), 2.87–2.92(m, 2H), 3.51–3.55 (m, 2H), 4.00 (t, 2H,  $J = 6.49$  Hz ), 6.23 (d, 1H,  $J = 9.47$  Hz), 6.79 (d, 1H,  $J = 2.35$  Hz), 6.82 (dd, 1H  $J = 2.37$  and 8.58 Hz), 7.36 (d, 1H,  $J = 8.58$ ), 7.63 (d, 1H,  $J = 9.50$  ). MS, m/z: 371.8 [M+1]<sup>+</sup>.

**7-(10-(piperidin-1-yl)decyloxy)-2H-chromen-2-one hydrochloride (2i).** Following the previous procedure for the synthesis for **2a** but **1i** (0.25 g, 0.66 mmol), piperidine (0.75 g, 8.81 mmol), and potassium carbonate (0.51 g, 3.68 mmol) were used. The mixture was filtered through a celite-packed column, and the solvent was evaporated under reduced pressure. Purification with acid base extraction and crystallization of the residue from diethyl ether afforded **2i** as a white solid (80% yield), mp 132.8–134.5 °C . <sup>1</sup>H NMR (CDCl<sub>3</sub>, δ): 1.28–1.32 (m, 10H), 1.43–1.46 (m, 2H), 1.78–1.91 (m, 8H), 2.25–2.30 (m, 2H), 2.55–2.58 (m, 2H), 2.87–2.89 (m, 2H), 3.50–3.55 (m, 2H), 4.00 (t, 2H, J = 6.50 Hz ), 6.23 (d, 1H, J = 9.47 Hz), 6.79 (d, 1H, J = 2.34 Hz), 6.82 (dd, 1H J = 2.39 and 8.57 Hz), 7.36 (d, 1H, J = 8.57), 7.63 (d, 1H, J = 9.47 ). MS, m/z: 385.9 [M+1]<sup>+</sup>.

**7-(11-(piperidin-1-yl)undecyloxy)-2H-chromen-2-one hydrochloride (2j).** Following the previous procedure for the synthesis for **2a** but **1j** (0.25 g, 0.63 mmol), piperidine (0.71 g, 8.45 mmol), and potassium carbonate (0.51 g, 3.68 mmol) were used. The mixture was filtered through a celite-packed column, and the solvent was evaporated under reduced pressure. Purification with acid base extraction and crystallization of the residue from diethyl ether afforded **2j** as a white solid (80% yield), mp 134.5–135.8 °C . <sup>1</sup>H NMR (CDCl<sub>3</sub>, δ): 1.28–1.32 (m, 12H), 1.43–1.45 (m, 2H), 1.78–1.91 (m, 8H), 2.25–2.30 (m, 2H), 2.58–2.60 (m, 2H), 2.87–2.90 (m, 2H), 3.50–3.55 (m, 2H), 4.00 (t, 2H, J = 6.53 Hz ), 6.23 (d, 1H, J = 9.45 Hz), 6.79 (d, 1H, J = 2.25 Hz), 6.82 (dd, 1H J = 2.44 and 8.56 Hz), 7.36 (d, 1H, J = 8.58), 7.63 (d, 1H, J = 9.49 ). MS, m/z: 399.9 [M+1]<sup>+</sup>.

**7-(12-(piperidin-1-yl)dodecyloxy)-2H-chromen-2-one hydrochloride (2k).** Following the previous procedure for the synthesis for **2a** but **1k** (0.25 g, 0.61 mmol), piperidine (0.70 g, 8.17 mmol), and potassium carbonate (0.51 g, 3.68 mmol) were used. The mixture was filtered through a celite-packed column, and the solvent was evaporated under reduced pressure. Purification with acid base extraction and crystallization of the residue from diethyl ether afforded **2k** as a white solid (80% yield), mp 145.4–146.7 °C . <sup>1</sup>H NMR (CDCl<sub>3</sub>, δ): 1.27–1.32 (m, 12H), 1.36–1.40 (m, 4H), 1.78–1.89 (m, 8H), 2.25–2.30 (m, 2H), 2.55–2.60 (m, 2H), 2.85–2.89 (m, 2H), 3.58–3.60 (m, 2H), 4.00 (t, 2H, J = 6.49 Hz ), 6.23 (d, 1H, J = 9.45 Hz), 6.79 (d, 1H, J = 2.33 Hz), 6.82 (dd, 1H J = 2.55 and 8.56 Hz), 7.36 (d, 1H, J = 8.56), 7.63 (d, 1H, J = 9.43 ). MS, m/z: 413.8 [M+1]<sup>+</sup>.

**7-(7-(pyrrolidin-1-yl)heptyloxy)-2H-chromen-2-one hydrochloride (3a).** Following the previous procedure for the synthesis for **2a** but **1f** (0.20 g, 0.59 mmol), pyrrolidine (0.11 g, 1.77 mmol), and potassium carbonate (0.41 g, 3.00 mmol) were used. Purification with acid base extraction and crystallization of the residue from diethyl ether afforded **3a** as a white solid (80% yield), mp 125.4–126.9 °C (dec.). <sup>1</sup>H NMR (CDCl<sub>3</sub>, δ): 1.42–1.57 (m, 6H), 1.79–1.82 (m, 2H), 1.90–2.00 (m, 2H), 2.05–2.15 (m, 2H), 2.20–2.30 (m, 2H), 2.70–2.80 (m, 2H), 2.99–3.02 (m, 2H), 3.75–3.85 (m, 2H), 4.01 (t, 2H, J = 6.35 Hz), 6.24 (d, 1H, J = 9.45 Hz), 6.79 (d, 1H, J = 2.23 Hz), 6.84 (dd, 1H, J = 2.34 and 8.58 Hz), 7.36 (d, 1H, J = 8.60 Hz), 7.63 (d, 1H, J = 9.46 Hz), 12.46 (s, 1H). MS, m/z: 329.8 [M+1]<sup>+</sup>.

**7-(8-(pyrrolidin-1-yl)octyloxy)-2H-chromen-2-one hydrochloride (3b).** Following the previous procedure for the synthesis for **2a** but **1g** (0.20 g, 0.57 mmol), pyrrolidine (0.12 g, 1.70 mmol), and potassium carbonate (0.39 g, 2.83 mmol) were used. Purification with acid base extraction and crystallization of the residue from diethyl ether afforded **3b** as a white solid (60% yield), mp 85.1–87.6 °C. <sup>1</sup>H NMR ( $\text{CDCl}_3$ ,  $\delta$ ): 1.38–1.78 (m, 8H), 1.78–1.82 (m, 2H), 1.85–1.95 (m, 2H), 2.00–2.10 (m, 2H), 2.25–2.27 (m, 2H), 2.70–2.80 (m, 2H), 2.96–3.00 (m, 2H), 3.78–3.80 (m, 2H), 4.01 (t, 2H,  $J$  = 6.45 Hz), 6.24 (d, 1H,  $J$  = 9.46 Hz), 6.79 (d, 1H,  $J$  = 2.29 Hz), 6.84 (dd, 1H,  $J$  = 2.41 and 8.59 Hz), 7.36 (d, 1H,  $J$  = 8.57 Hz), 7.63 (d, 1H,  $J$  = 9.46 Hz), 12.46 (s, 1H). MS,  $m/z$ : 343.7 [M+1]<sup>+</sup>.

**7-(9-(pyrrolidin-1-yl)nonyloxy)-2H-chromen-2-one hydrochloride (3c).** Following the previous procedure for the synthesis for **2a** but **1h** (0.20 g, 0.57 mmol), pyrrolidine (0.12 g, 1.70 mmol), and potassium carbonate (0.39 g, 2.83 mmol) were used. Purification with acid base extraction and crystallization of the residue from diethyl ether afforded **6c** as a white solid (85% yield), mp 136.2–137.5 °C (dec.). <sup>1</sup>H NMR ( $\text{CDCl}_3$ ,  $\delta$ ): 1.25–1.55 (m, 10H), 1.78–1.82 (m, 2H), 1.85–1.95 (m, 2H), 2.00–2.10 (m, 2H), 2.25–2.27 (m, 2H), 2.75–2.80 (m, 2H), 2.97–3.00 (m, 2H), 3.78–3.80 (m, 2H), 4.01 (t, 2H,  $J$  = 6.47 Hz), 6.24 (d, 1H,  $J$  = 9.47 Hz), 6.79 (d, 1H,  $J$  = 2.31 Hz), 6.84 (dd, 1H,  $J$  = 2.40 and 8.58 Hz), 7.36 (d, 1H,  $J$  = 8.58 Hz), 7.63 (d, 1H,  $J$  = 9.50 Hz), 12.46 (s, 1H). MS,  $m/z$ : 357.9 [M+1]<sup>+</sup>.

**7-(7-(diethylamino)heptyloxy)-2H-chromen-2-one hydrochloride (4a).** Following the previous procedure for the synthesis for **2a** but **1f** (0.15 g, 0.44 mmol), diethylamine (3.54 g, 4.83 mmol), and potassium carbonate (0.41 g, 3.00 mmol) were used. Purification with acid base extraction and crystallization of the residue from diethyl ether afforded **4a** as a white solid (65% yeild), mp 112.1–115.7°C. <sup>1</sup>H NMR ( $\text{CDCl}_3$ ,  $\delta$ ): 1.39–1.43 (m, 6H), 1.58 (s, 6H), 1.79–1.84 (m, 4H), 2.93–2.97 (m, 2H), 3.09–3.13 (m, 4H), 4.01 (t, 2H,  $J$  = 6.38 Hz), 6.24 (d, 1H,  $J$  = 9.45 Hz), 6.79 (d, 1H,  $J$  = 2.23 Hz), 6.83 (dd, 1H,  $J$  = 2.38 and 8.58 Hz), 7.36 (d, 1H,  $J$  = 8.57 Hz), 7.63 (d, 1H,  $J$  = 9.48 Hz). MS,  $m/z$ : 331.8 [M+1]<sup>+</sup>.

**7-(8-(diethylamino)octyloxy)-2H-chromen-2-one hydrochloride (4b).** Following the previous procedure for the synthesis for **2a** but **1g** (0.2 g, 0.57 mmol), diethylamine (3.54 g, 4.83 mmol), and potassium carbonate (0.39 g, 2.83 mmol) were used. Purification with acid base extraction and crystallization of the residue from diethyl ether afforded **4b** as a white solid (55% yeild), mp 66.7–67.9 °C. <sup>1</sup>H NMR ( $\text{CDCl}_3$ ,  $\delta$ ): 1.39–1.47 (m, 8H), 1.56 (s, 6H), 1.79–1.84 (m, 4H), 2.93–2.96 (m, 2H), 3.09–3.11 (m, 4H), 4.01 (t, 2H,  $J$  = 6.41 Hz), 6.24 (d, 1H,  $J$  = 9.45 Hz), 6.79 (d, 1H,  $J$  = 1.86 Hz), 6.83 (dd, 1H,  $J$  = 2.04 and 8.58 Hz), 7.36 (d, 1H,  $J$  = 8.55 Hz), 7.63 (d, 1H,  $J$  = 9.43 Hz). MS,  $m/z$ : 345.9 [M+1]<sup>+</sup>.

**7-(9-(diethylamino)nonyloxy)-2H-chromen-2-one hydrochloride (4c).** Following the previous procedure for the synthesis for **2a** but **1h** (0.2 g, 0.57 mmol), diethylamine (3.54 g, 4.83 mmol), and potassium carbonate (0.39 g, 3.00 mmol) were used. Purification with acid base extraction and crystallization of the residue from diethyl ether afforded **4b** as a white solid (70% yeild), mp 81.4–83.4°C. <sup>1</sup>H NMR ( $\text{CDCl}_3$ ,  $\delta$ ):

โคลีนอสเทอเรสสายพันธุ์มนุษย์ของสารอนุพันธ์คุณาริน

1.35–1.46 (m, 10H), 1.58 (s, 6H), 1.79–1.84 (m, 4H), 2.93–2.96 (m, 2H), 3.09–3.12 (m, 4H), 4.01 (t, 2H,  $J$  = 6.42 Hz), 6.24 (d, 1H,  $J$  = 9.46 Hz), 6.79 (d, 1H,  $J$  = 2.17 Hz), 6.84 (dd, 1H,  $J$  = 2.31 and 8.56 Hz), 7.36 (d, 1H,  $J$  = 8.56 Hz), 7.63 (d, 1H,  $J$  = 9.48 Hz). MS,  $m/z$ : 359.8 [M+1]<sup>+</sup>.

**7-(7-morpholinoheptyloxy)-2H-chromen-2-one hydrochloride (5a).** Following the previous procedure for the synthesis for **2a** but **1f** (0.20 g, 0.59 mmol), morpholine (0.15 g, 1.77 mmol), and potassium carbonate (0.41 g, 3.00 mmol) were used. The product was obtained as a white solid after purification with a silica gel-packed column chromatography and eluted with 10% methanol in ethyl acetate (90% yield), mp 149.0–152.7 °C. <sup>1</sup>H NMR ( $\text{CDCl}_3$ ,  $\delta$ ): 1.43–1.51 (m, 6H), 1.48–1.50 (m, 2H), 1.50–1.51 (m, 2H), 2.85–2.88 (m, 2H), 2.92–2.95 (m, 2H), 3.42–3.44 (m, 2H), 4.01–4.03 (m, 4H), 4.35–4.40 (m, 2H), 6.25 (d, 1H,  $J$  = 9.46 Hz), 6.80 (d, 1H,  $J$  = 2.29 Hz), 6.84 (dd, 1H,  $J$  = 2.39 and 8.57 Hz), 7.38 (d, 1H,  $J$  = 8.58 Hz), 7.64 (d, 1H,  $J$  = 9.47 Hz), 13.14 (s, 1H). MS,  $m/z$ : 345.8 [M+1]<sup>+</sup>.

**7-(8-morpholinoctyloxy)-2H-chromen-2-one hydrochloride (5b).** Following the previous procedure for the synthesis for **2a** but **1g** (0.25 g, 0.71 mmol), morpholine (0.18 g, 2.12 mmol), and potassium carbonate (0.49 g, 3.54 mmol) were used. The product was obtained as a white solid after purification with a silica gel-packed column chromatography and eluted with 10% methanol in ethyl acetate (85% yield), mp 62.4–63.3 °C. <sup>1</sup>H NMR ( $\text{CDCl}_3$ ,  $\delta$ ): 1.38–1.76 (m, 8H), 1.80–1.83 (m, 2H), 1.90–2.00 (m, 2H), 2.83–2.88 (m, 2H), 2.93–2.96 (m, 2H), 3.41–3.44 (m, 2H), 3.94–4.01 (m, 4H), 4.28–4.34 (m, 2H), 6.23 (d, 1H,  $J$  = 9.47 Hz), 6.78 (d, 1H,  $J$  = 2.25 Hz), 6.83 (dd, 1H,  $J$  = 2.35 and 8.58 Hz), 7.36 (d, 1H,  $J$  = 8.58 Hz), 7.63 (d, 1H,  $J$  = 9.48 Hz), 13.14 (s, 1H). MS,  $m/z$ : 359.8 [M+1]<sup>+</sup>.

**7-(9-morpholinononyloxy)-2H-chromen-2-one hydrochloride (5c).** Following the previous procedure for the synthesis for **2a** but **1h** (0.20 g, 0.55 mmol), morpholine (0.14 g, 1.63 mmol), and potassium carbonate (0.38 g, 2.72 mmol) were used. The product was obtained as a white solid after purification with a silica gel-packed column chromatography and eluted with 10% methanol in ethyl acetate (85% yield), mp 155.8–156.3 °C. <sup>1</sup>H NMR ( $\text{CDCl}_3$ ,  $\delta$ ): 1.35–1.56 (m, 10H), 1.78–1.82 (m, 2H), 1.90–2.00 (m, 2H), 2.85–2.90 (m, 2H), 2.93–2.95 (m, 2H), 3.42 (m, 2H), 3.95–4.03 (m, 4H), 4.30–4.40 (m, 2H), 6.24 (d, 1H,  $J$  = 9.47 Hz), 6.80 (d, 1H,  $J$  = 2.30 Hz), 6.84 (dd, 1H,  $J$  = 2.40 and 8.57 Hz), 7.36 (d, 1H,  $J$  = 8.57 Hz), 7.63 (d, 1H,  $J$  = 9.46 Hz), 13.14 (s, 1H). MS,  $m/z$ : 373.8 [M+1]<sup>+</sup>.

**7-(7-(4-methylpiperazin-1-yl)heptyloxy)-2H-chromen-2-one 2 hydrochloride (6a).** Following the previous procedure for the synthesis for **2a** but **1f** (0.20 g, 0.59 mmol), methylpiperazine (0.18 g, 1.77 mmol), and potassium carbonate (0.41 g, 3.00 mmol) were used. Purification with acid base extraction and crystallization of the residue from diethyl ether afforded **6a** as a white solid (65% yield), mp 233.5–234.8 °C (dec.). <sup>1</sup>H NMR ( $\text{CDCl}_3$ ,  $\delta$ ): 1.90–1.98 (m, 6H), 1.70–1.80 (m, 4H), 2.87 (s, 3H), 3.05–3.10 (m, 2H), 3.50–3.60 (m, 4H), 3.65–3.75 (m, 2H), 3.80–3.90 (m, 2H), 3.95 (t, 2H,  $J$  = 6.35 Hz), 6.18 (d, 1H,  $J$  = 9.47 Hz), 6.73 (d, 1H,  $J$  = 2.07 Hz), 6.78 (dd, 1H,  $J$  = 2.30 and 8.57 Hz), 7.32 (d, 1H,  $J$  = 8.60 Hz), 7.61 (d, 1H,  $J$  = 9.47 Hz). MS,  $m/z$ : 358.7 [M+1]<sup>+</sup>.

**7-(8-(4-methylpiperazin-1-yl)octyloxy)-2H-chromen-2-one 2 hydrochloride (6b).** Following the previous procedure for the synthesis for **2a** but **1g** (0.20 g, 0.57 mmol), methylpiperazine (0.15 g, 1.70 mmol), and potassium carbonate (0.39 g, 2.83 mmol) were used. Purification with acid base extraction and crystallization of the residue from diethyl ether afforded **6b** as a white solid (60% yeild), mp 229.4–230.3 °C (dec.). <sup>1</sup>H NMR ( $\text{CDCl}_3$ ,  $\delta$ ): 1.33–1.73 (m, 8H), 1.75–1.78 (m, 4H), 2.88 (s, 3H), 3.04–3.07 (m, 2H), 3.53–3.60 (m, 4H), 3.65–3.75 (m, 2H), 3.85–3.90 (m, 2H), 3.96 (t, 2H,  $J$  = 6.41 Hz), 6.18 (d, 1H,  $J$  = 9.46 Hz), 6.75 (d, 1H,  $J$  = 1.89 Hz), 6.78 (dd, 1H,  $J$  = 2.18 and 8.58 Hz), 7.32 (d, 1H,  $J$  = 8.54 Hz), 7.61 (d, 1H,  $J$  = 9.44 Hz). MS,  $m/z$ : 374.1 [M+1]<sup>+</sup>.

**7-(9-(4-methylpiperazin-1-yl)nonyloxy)-2H-chromen-2-one 2 hydrochloride (6c).** Following the previous procedure for the synthesis for **2a** but **1h** (0.25 g, 0.68 mmol), methylpiperazine (0.21g, 2.04 mmol), and potassium carbonate (0.31 g, 2.21 mmol) were used. Purification with acid base extraction and crystallization of the residue from diethyl ether afforded **6c** as a white solid (70% yeild), mp 236.7–239.3 °C (dec.). <sup>1</sup>H NMR ( $\text{CDCl}_3$ ,  $\delta$ ): 1.28–1.39 (m, 10H), 1.73–1.77 (m, 4H), 2.86 (s, 3H), 3.04–3.06 (m, 2H), 3.52–3.60 (m, 4H), 3.67–3.75 (m, 2H), 3.77–3.80 (m, 2H), 3.94 (t, 2H,  $J$  = 6.43 Hz), 6.17 (d, 1H,  $J$  = 9.45 Hz), 6.74 (s, 1H), 6.78 (dd, 1H,  $J$  = 2.24 and 8.58 Hz), 7.31 (d, 1H,  $J$  = 8.58 Hz), 7.61 (d, 1H,  $J$  = 9.45 Hz). MS,  $m/z$ : 387.1 [M+1]<sup>+</sup>.

**7-(7-(1,2,3,4-tetrahydroisoquinolin-2-yl)heptyloxy)-2H-chromen-2-one hydrochloride (7a).** Following the previous procedure for the synthesis for **2a** but **1f** (0.3 g, 0.82 mmol), 1,2,3,4-tetrahydroisoquinoline (0.10 g, 0.80 mmol), and potassium carbonate (0.41 g, 2.95 mmol) were used. The product was obtained as a white solid after purification with a silica gel-packed column chromatography and eluted with 10% methanol in ethyl acetate (60% yield), mp 169.2–170.8 °C. <sup>1</sup>H NMR ( $\text{CDCl}_3$ ,  $\delta$ ): 1.40–1.50 (m, 6), 1.80–1.82 (m, 2H), 2.00–2.10 (m, 2H), 2.85–2.99 (m, 1H), 3.02–3.08 (m, 2H), 3.25–3.35 (m, 1H), 3.45–3.55 (m, 1H), 3.65–3.75 (m, 1H), 3.90–3.95 (m, 1H), 4.02 (t, 2H,  $J$  = 6.20 Hz), 4.60–4.65 (m, 1H), 6.25 (d, 1H,  $J$  = 9.45 Hz), 6.81 (d, 1H,  $J$  = 2.56 Hz), 6.85 (dd, 1H,  $J$  = 2.14 and 8.67 Hz), 7.10–7.12 (m, 1H), 7.20–7.22 (m, 1H), 7.27–7.29 (m, 1H), 7.30–7.32 (m, 1H), 7.38 (d, 1H,  $J$  = 8.54 Hz), 7.65 (d, 1H,  $J$  = 9.47), 12.98 (s, 1H). MS,  $m/z$ : 391.7 [M+1]<sup>+</sup>.

**7-(8-(1,2,3,4-tetrahydroisoquinolin-2-yl)octyloxy)-2H-chromen-2-one hydrochloride (7b).** Following the previous procedure for the synthesis for **2a** but **1g** (0.2 g, 0.57 mmol), 1,2,3,4-tetrahydroisoquinoline (0.10 g, 0.80 mmol), and potassium carbonate (0.39 g, 2.95 mmol) were used. The product was obtained as a white solid after purification with a silica gel-packed column chromatography and eluted with 10% methanol in ethyl acetate (65% yield), mp 148.1–151.7 °C. <sup>1</sup>H NMR ( $\text{CDCl}_3$ ,  $\delta$ ): 1.41–68 (m, 8H), 1.81 (t, 2H,  $J$  = 6.77 Hz), 2.00–2.10 (m, 2H), 2.90–2.99, (m, 1H), 3.00–3.10 (m, 2H), 3.25–3.35 (m, 1H), 3.45–3.55 (m, 1H), 3.65–3.75 (m, 1H), 3.90–3.95 (m, 1H), 4.02 (t, 2H,  $J$  = 5.94 Hz), 4.60–4.63 (m, 1H), 6.25 (d, 1H,  $J$  = 9.46 Hz), 6.81 (d, 1H  $J$  = 2.77 Hz), 6.85 (dd, 1H,  $J$  = 2.86 and 8.69 Hz), 7.10–12 (m, 1H),

7.20–7.22 (m, 1H), 7.29–7.30 (m, 1H), 7.30–7.32 (m, 1H), 7.38 (d, 1H,  $J = 8.54$  Hz), 7.64 (d, 1H,  $J = 9.46$  Hz), 12.98 (s, 1H). MS, m/z: 405.9 [M+1]<sup>+</sup>.

**7-(9-(1,2,3,4-tetrahydroisoquinolin-2-yl)nonyloxy)-2H-chromen-2-one hydrochloride (7c).**

Following the previous procedure for the synthesis for **2a** but **1h** (0.25 g, 0.68 mmol), 1,2,3,4-tetrahydroisoquinoline (0.10 g, 0.80 mmol), and potassium carbonate (0.47 g, 3.40 mmol) were used. The product was obtained as a white solid after purification with a silica gel-packed column chromatography and eluted with 10% methanol in ethyl acetate (85% yield), mp 125.6–127.5 °C. 1H NMR ( $\text{CDCl}_3$ ,  $\delta$ ): 1.35–1.45 (m, 10H), 1.80 (t, 2H,  $J = 7.89$  Hz), 1.95–2.05 (m, 2H), 2.95–3.00 (m, 1H), 3.03–3.05 (m, 2H), 3.20–3.30 (m, 1H), 3.45–3.50 (m, 1H), 3.60–3.70 (m, 1H), 3.91–3.94 (m, 1H), 4.01 (t, 2H,  $J = 6.47$ ), 4.58–4.68 (m, 1H), 6.24 (d, 1H,  $J = 9.46$  Hz), 6.80 (d, 1H,  $J = 2.23$  Hz), 6.83 (dd, 1H,  $J = 2.35$  and 8.57 Hz), 7.10 (d, 1H,  $J = 6.89$  Hz), 7.21 (d, 1H,  $J = 8.26$  Hz) 7.26–7.30 (m, 2H), 7.36 (d, 1H,  $J = 8.57$  Hz), 7.63 (d, 1H, 9.47 Hz), 12.98 (s, 1H). MS, m/z: 419.7 [M+1]<sup>+</sup>.

**7-(7-(6,7-dimethoxy-1,2,3,4-tetrahydroisoquinolin-2-yl)heptyloxy)-2H-chromen-2-one**

**hydrochloride (8a).** Following the previous procedure for the synthesis for **2a** but **1f** (0.2 g, 0.59 mmol), 6,7-dimethoxy-1,2,3,4-tetrahydroisoquinoline (0.14 g, 0.78 mmol), and potassium carbonate (0.41 g, 2.95 mmol) were used. The product was obtained as a white solid after purification with a silica gel-packed column chromatography and eluted with 10% methanol in ethyl acetate (65% yield), mp 168.2–170.0 °C. 1H NMR ( $\text{CDCl}_3$ ,  $\delta$ ): 1.45–1.58 (m, 6H), 1.79–1.82 (m, 2H), 1.95–2.05 (m, 2H), 2.90–3.00 (m, 1H), 3.05–3.15 (m, 2H), 3.20–3.30 (m, 1H), 3.40–3.50 (m, 1H), 3.60–3.70 (m, 1H), 3.85 (s, 3H), 3.86 (s, 3H), 3.91–3.94 (m, 1H), 4.01 (t, 2H,  $J = 6.26$  Hz), 4.45–4.55 (m, 1H), 6.24 (d, 1H,  $J = 9.46$  Hz), 6.53 (s, 1H), 6.64 (s, 1H), 6.80 (d, 1H,  $J = 2.94$  Hz), 6.84 (dd, 1H,  $J = 2.15$  and 8.54 Hz), 7.36 (d, 1H,  $J = 8.58$  Hz), 7.63 (d, 1H,  $J = 9.44$  Hz), 12.99 (s, 1H). MS, m/z: 451.6 [M+1]<sup>+</sup>.

**7-(8-(6,7-dimethoxy-1,2,3,4-tetrahydroisoquinolin-2-yl)octyloxy)-2H-chromen-2-one**

**hydrochloride (8b).** Following the previous procedure for the synthesis for **2a** but **1g** (0.2 g, 0.57 mmol), 6,7-dimethoxy-1,2,3,4-tetrahydroisoquinoline (0.13 g, 0.68 mmol), and potassium carbonate (0.39 g, 2.83 mmol) were used. The product was obtained as a white solid after purification with a silica gel-packed column chromatography and eluted with 10% methanol in ethyl acetate (80% yield), mp 159.6–161.8 °C. 1H NMR ( $\text{CDCl}_3$ ,  $\delta$ ): 1.40–1.55 (m, 8), 1.79–1.82 (m, 2H), 1.95–2.00 (m, 2H), 2.85–2.95 (m, 1H), 3.00–3.10 (m, 2H), 3.20–3.30 (m, 1H), 3.35–3.45 (m, 1H), 3.55–3.65 (m, 1H), 3.85 (s, 3H), 3.86 (s, 3H), 3.90–3.94 (m, 1H), 4.01 (t, 2H,  $J = 6.38$  Hz), 4.45–4.55 (m, 1H), 6.24 (d, 1H,  $J = 9.48$  Hz), 6.52, (s, 1H), 6.64 (s, 1H), 6.79 (d, 1H,  $J = 2.16$  Hz), 6.84 (dd, 1H,  $J = 2.39$  and 8.58 Hz), 7.36 (d, 1H,  $J = 8.57$  Hz), 7.63 (d, 1H,  $J = 9.48$  Hz), 12.99 (s, 1H). MS, m/z: 465.7 [M+1]<sup>+</sup>.

**7-(9-(6,7-dimethoxy-1,2,3,4-tetrahydroisoquinolin-2-yl)nonyloxy)-2H-chromen-2-one**

**hydrochloride (8c).** Following the previous procedure for the synthesis for **2a** but **1h** (0.3 g, 0.82 mmol), 6,7-dimethoxy-1,2,3,4-tetrahydroisoquinoline (0.19 g, 0.98 mmol), and potassium carbonate (0.56 g, 4.08 mmol)

were used. The product was obtained as a white solid after purification with a silica gel-packed column chromatography and eluted with 10% methanol in ethyl acetate (75% yield), mp 170.6–172.3 °C. <sup>1</sup>H NMR ( $\text{CDCl}_3$ ,  $\delta$ ): 1.25–1.54 (m, 10), 1.79–1.82 (m, 2H), 1.95–2.05 (m, 2H), 2.85–2.95 (m, 1H), 3.04–3.06 (m, 2H), 3.20–3.30 (m, 1H), 3.50–3.60 (m, 1H), 3.55–3.65 (m, 1H), 3.85 (s, 3H), 3.86 (s, 3H), 3.90–3.94 (m, 1H), 4.01 (t, 2H,  $J = 6.46$  Hz), 4.45–4.55 (m, 1H), 6.24 (d, 1H,  $J = 9.44$  Hz), 6.52 (s, 1H), 6.64 (s, 1H), 6.80 (d, 1H,  $J = 2.21$  Hz), 6.84 (dd, 1H,  $J = 2.40$  and 8.58 Hz), 7.36 (d, 1H,  $J = 8.59$  Hz), 7.63 (d, 1H,  $J = 9.49$  Hz), 12.99 (s, 1H). MS,  $m/z$ : 479.8 [M+1]<sup>+</sup>.

**7-hydroxy-2-oxo-2H-chromene-3-carboxylic acid (9)** 2-hydroxy-4-methoxybenzaldehyde (7 g, 50.71 mmol) was suspended in water (50 mL). Meldrum's acid (6.9 g, 47.87 mmol) and Ammonium acetate (0.71 g, 9.12 mmol) were added to the suspension. The suspension was stirred at room temperature for 4 h. After that the resulting precipitate was filtered and was added dropwise by acetone to give 9 as a light pink solid (8 g, 77%), mp > 250, <sup>1</sup>H NMR ( $\text{CDCl}_3$ ,  $\delta$ ) 6.68 (d, 1H,  $J = 1.68$  Hz), 6.68–6.77 (m, 1H), 7.4 (dd, 1H,  $J = 1.28, 8.65$ ), 8.60 (s, 1H). MS,  $m/z$ : 207.2 [M+1]<sup>+</sup>

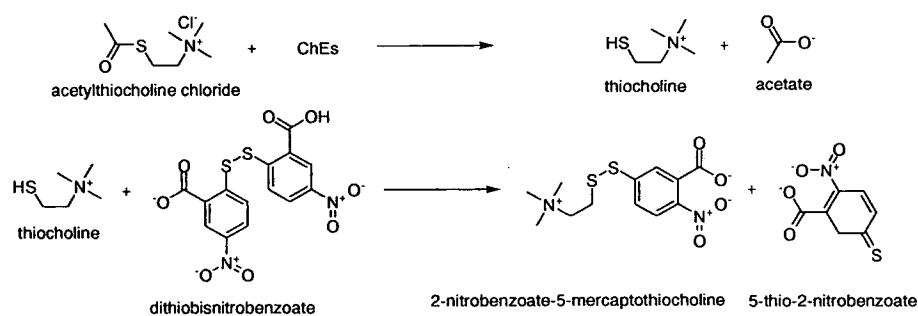
**ethyl 7-hydroxy-2-oxo-2H-chromene-3-carboxylate (10)** 2,4-Dihydroxybenzaldehyde (4 g, 28.96 mmol) was added in diethyl malonate (2.8 mL, 28.96 mmol) and then Piperidine (0.2 mol) was added to the mixture. The resulting orange solution was formed and was stirred at room temperature for 1 h. Subsequently, a 10 N hydrochloric acid solution was added dropwise until the solution became acid to an indicator paper. The aforementioned solution was filtered and was wash with water to give 10 as a yellow solid (3.5 g, 52% Yield), mp 159.1–160.1 <sup>1</sup>H NMR ( $\text{CDCl}_3$ ,  $\delta$ ) 1.40 (t, 3H,  $J = 7.12$  Hz), 4.40 (q, 2H, 7.12 Hz), 6.91 (dd, 1H,  $J = 2.27, 8.62$  Hz), 6.96 (d, 1H,  $J = 2.13$ ), 7.4 (d, 1H,  $J = 8.66$ ), 8.54 (s, 1H). MS,  $m/z$ : 235.3 [M+1]<sup>+</sup>

**7-hydroxy-3-(4-methylpiperazine-1-carbonyl)-2H-chromen-2-one(11)** The ester derivative 10 (0.2 g, 0.97 mmol) was dissolve in dimethylfomamide (15 mL). Potassium carbonate (0.67 g, 4.85 mmol) and *N*-methylpiperazine (0.15 g, 1.46 mmol) were added to the aforementioned solution and was heated under reflux condition for 72 h. The resulting solution was concentrated under reduced pressure and the residue was dissolved in diethyl ether (50 mL). The organic solution was extract by 2.5 HCl aqueous solution. Subsequently, the extracted solution was added sodium carbonate until pH was more than 7 and acidic solution were extracted again with dichloromethane (50 mL × 3). The organic layer was concentrated under reduce pressure and recrystallized in ether to give 11 as a light yellow solid (1.45 g, 55% yield), mp > 250 <sup>1</sup>H NMR ( $\text{CDCl}_3$ ,  $\delta$ ) 3.31–3.78 (m, 11H), 6.86 (s, 1H), 6.90 (dd, 1H,  $J = 2.27, 8.62$  Hz), 7.54 (d, 1H,  $J = 8.66$ ), 8.13 (s, 1H). MS,  $m/z$ : 289.0[M+1]<sup>+</sup>

โคลีนอสเทอเรสสายพันธุ์มนุษย์ของสารอนุพันธ์คุณาริน

### การทดสอบฤทธิ์ทางเภสัชวิทยา

การทดสอบฤทธิ์การขับยั้งอีนไซม์ AChE และ BuChE ของอนุพันธ์ coumarin ทำโดยใช้วิธีของ Ellman.<sup>35</sup> โดยการศึกษาใช้ 3.8 mM acetylthiocholine chloride (ATCC) เป็น substrate ของอีนไซม์ ChEs. ATCC จะถูก hydrolysed โดยอีนไซม์เป็น thiocholine และ acetate โดยในการศึกษานี้ใช้อีนไซม์จาก erythrocyte membrane (AChE) และ plasma (BuChE). Thiocholine ที่ได้จากปฏิกิริยาจะทำปฏิกิริยากับ 3 mM dithiobisnitrobenzoate (DTNB) product จากปฏิกิริยาที่ได้คือ 2-nitrobenzoate-5-mercaptopthiocholine และ 5-thio-2-nitrobenzoate ซึ่งมีสีเหลืองดังแสดงในรูปที่ 6. activity ของ ChE จะถูกวัดโดยการเพิ่มของสีเหลืองซึ่งเป็นสีของ product จากปฏิกิริยา และวัดโดย spectrophotometer. ในการศึกษาจะใช้สารละลายน 50 mM Tris/HCl (pH 7) เป็น negative control และ neostigmine เป็น positive control



รูปที่ 6. Scheme of Ellman reaction between thiocholine and DTNB, where the thiocholine ion is obtained previously from the hydrolysis of ATCC by either AChE or BuChE.

ค่า half maximum inhibitory activity ( $IC_{50}$ ) ของสารอนุพันธ์แด่ตัวจะถูกคำนวณจาก dose-response curve of five โดยใช้ GraphPad<sup>TM</sup> software ในการคำนวณ.

### การแยก Enzyme AChE ในเซลล์เม็ดเลือดแดง และ BuChE ใน plasma จาก Human whole blood

1. เครื่องพลาสม่าและเซลล์เม็ดเลือดแดงของเม็ดเลือดแดง โดยการเจาะเลือดจากหลอดเลือดดำของอาสาสมัคร ปริมาณครั้งละ 20 ml จำนวน 1 ครั้ง ทั้งนี้ผู้ทำการวิจัยต้องการเพียงเลือดของอาสาสมัครเท่านั้น และไม่มีการให้อาสาสมัครรับประทานยาหรือรับสารเคมีใดๆเข้าสู่ร่างกายก่อนการเจาะเลือด และตลอดการศึกษา โดยมี

#### เกณฑ์การคัดเข้า (Inclusion criteria)

1. เป็นอาสาสมัครเพศชายที่มีสุขภาพดีไม่มีโรคประจำตัว
2. มีอายุระหว่าง 20-60 ปี
3. ก่อนการเจาะเลือด 1 สัปดาห์อาสาสมัครจะต้องไม่วรับประทานยาที่มีผลต่อเอนไซม์อะชิลโคลีนอสเทอเรส(Acetylcholinesterase; AChE)

**เกณฑ์การคัดออก (Exclusion criteria)**

1. อาสาสมัครพักผ่อนไม่เพียงพอ นอนหลับน้อยกว่า 6 ชั่วโมง ก่อนการเจาะเลือด
2. ดื่มเครื่องดื่มที่มีคาเฟอีน เช่น ชา กาแฟ ก่อนการเจาะเลือดอย่างน้อย 4 ชั่วโมง
- เกณฑ์การให้เลิกจากการศึกษา (Discontinuation) ดังนี้  
อาสาสมัครไม่สมัครใจจะเข้าร่วมการศึกษาแล้ว สามารถถอนตัวได้ตลอดเวลา
3. นำเลือดไปปั่นเหวี่ยงด้วยเครื่อง Centrifugation ที่ความเร็วรอบ 2000 g อุณหภูมิ 4C นาน 15 นาทีเพื่อทำการแยกพลาสมาออกจากเซลล์ แล้วนำพลาสมามาทดสอบฤทธิ์ของสารสกัดสนุนไพรต่อการยับยั้งบิวาริลิคโคลีนอสเทอเรส (Butyrylcholinesterase; BuChE)
4. นำส่วนของเซลล์ที่ได้จากการปั่นเหวี่ยงแยกพลาสมາออกไปแล้วมาทำการล้างเอาสิ่งเจือปนออก โดยเติม 0.9% NaCl ที่ เช่นน้ำแข็งประมาณ 15 นาที 10 ml และนำมาปั่นเหวี่ยงที่ความเร็วรอบ 600 g อุณหภูมิ 4C นาน 10 นาที ทำซ้ำ 3 ครั้ง
5. เติมสารละลายน้ำ buffer 10 mM Tris-HCl pH 7.5 ที่ เช่นน้ำแข็งประมาณ 15 นาที 700 μl ปั่นเหวี่ยงความเร็วรอบ 12,000 g นาน 4C นาน 10 นาที ดูด supernatant ออกทิ้ง แล้วเติม 10 mM Tris-HCl pH 7.5 ปริมาณ 700 μl ปั่นเหวี่ยงจนกว่าส่วน supernatant จะใส จากนั้นเติม 10 mM Tris-HCl (pH 7.5) 100 μl/tube แล้วแช่ไว้ที่อุณหภูมิ -20°C เพื่อได้ส่วนเซลล์เมมเบรนของเม็ดเลือดแดงมาทดสอบฤทธิ์ของสารสกัดสนุนไพรไทยต่อการยับยั้งอะซีทิลโคลีนอสเทอเรส (Acetylcholinesterase; AChE)

**การทดสอบฤทธิ์ของสารอนุพันธุ์ coumarin ต่อ cell viability ในเซลล์ประสาทเพาะเลี้ยง**

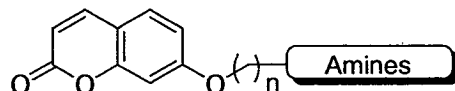
1. เลี้ยง human neuroblastoma cells ใน 96 well plate คำนวณให้ได้ปริมาณ 20,000 cells/well/100 μl ตาม protocol การเลี้ยงเซลล์ (ยกเว้น wells รอบ plate ให้เติม PBS)
2. เปลี่ยนเป็น medium free serum และ treat ด้วยสารทดสอบ จากนั้น incubate เป็นระยะเวลา 24 ชั่วโมง ใน 5% CO<sub>2</sub> incubator, temp 37°C ก่อนทดสอบ MTT assay
3. เติมสารละลายน้ำ 0.5% MTT ปริมาตร 10 μl/well ใน medium โดยขึ้นตอนนี้ทำใน laminar air flow
4. เก็บเซลล์ใน 5% CO<sub>2</sub> incubator, temp 37°C เป็นระยะเวลา 4 ชั่วโมง
5. ดูดอาหารเลี้ยงเซลล์ออกให้หมด (ใช้วิธีการคร่าว plate)
6. เติมตัวทำละลาย DMSO-EtOH (DMSO : EtOH = 1:1) ปริมาตร 200 μl/well
7. incubate ใน 5% CO<sub>2</sub> incubator, temp 37°C ประมาณ 15 นาที หรือจนกว่าตะกอนสีน้ำเงินละลายจนหมด
8. นำไปวัดค่าการดูดกลืนแสง ด้วยเครื่อง spectrophotometer ที่ความยาวคลื่น 595 nm.

## ผลงานวิจัย และการอภิปรายผลงานวิจัย

การศึกษานี้ผู้วิจัยได้ทำการออกแบบ และสังเคราะห์อนุพันธ์ใหม่คุณาริน โดยมีจุดมุ่งหมายให้มีฤทธิ์ยับยั้งการทำงานของเอนไซม์ acetylcholinesterase (AChE) และ butylcholinesterase (BuChE) ผลการสังเคราะห์พบว่าผู้วิจัยได้สารสังเคราะห์อนุพันธ์ใหม่คุณารินจำนวน 29 สาร แบ่งออกเป็น 2a-k, 3a-c, 4a-c, 5a-c, 6a-c, 7a-c และ 8a-c ผลการศึกษาแสดงดังตารางที่ 1

จากนั้นจึงนำสารสังเคราะห์อนุพันธ์ใหม่คุณารินมาทดสอบฤทธิ์ทางเภสัชวิทยาโดยใช้เอนไซม์ที่แยกได้จากเดือด และพลาสม่าของอาสาสมัครสุขภาพดี ผลการศึกษาพบว่าสารสังเคราะห์อนุพันธ์ใหม่คุณาริน สามารถยับยั้งการทำงานของเอนไซม์ AChE และ BuChE ได้ร้อยละ 50 (IC<sub>50</sub>) ที่ความเข้มข้นระดับไมโครโมลาร์ ผลการศึกษาแสดงดังตารางที่ 1

ตารางที่ 1 ผลการศึกษาฤทธิ์ของสารอนุพันธ์ใหม่คุณารินในการยับยั้งการทำงานของเอนไซม์ AChE, BuChE และ selectivity ratios



No	RKNU	n	Amines	hAChE IC <sub>50</sub> (μM)	hBuChE IC <sub>50</sub> (μM)	Selectivity BuChE/AChE
2a	21	2		3.3	56.6	17.0
2b	22	3		6.0	> 100	N/A
2c	23	4		1.1	29.1	25.7
2d	24	5		1.3	37.0	29.1
2e	25	6		4.1	16.9	4.1
2f	26	7		0.3	15.8	56.4
2g	27	8		0.7	6.8	9.5
2h	28	9		4.1	13.5	3.3
2i	29	10		1.4	25.0	18.1
2j	30	11		14.7	29.5	2.0
2k	31	12		> 100	54.2	N/A

ตารางที่ 2 ผลการศึกษาฤทธิ์ของสารอนุพันธุ์ใหม่คุนารินในการขับยังการทำงานของเอนไซม์ AChE, BuChE และ selectivity ratios (ต่อ)

No	RKNU	n	Amines	hAChE $IC_{50}(\mu M)$	hBuChE $IC_{50}(\mu M)$	Selectivity BuChE/AChE
3a	53	7		0.3	8.4	25.5
3b	54	8		1.9	21.9	11.6
3c	55	9		2.1	5.3	2.5
4a	59	7		0.7	> 100	N/A
4b	60	8		1.6	> 100	N/A
4c	61	9		2.6	> 100	N/A
5a	50	7		20.9	79.7	3.8
5b	51	8		4.9	28.6	5.8
5c	52	9		16.7	> 100	N/A
6a	56	7		6.7	> 100	N/A
6b	57	8		5.0	> 100	N/A
6c	58	9		6.2	> 100	N/A
7a	47	7		23.8	9.1	0.4
7b	48	8		7.9	5.5	0.7
7c	49	9		33.7	69.4	2.1
8a	44	7		61.0	43.4	0.7
8b	45	8		21.8	38.6	1.8
8c	46	9		47.5	39.1	0.8
<b>Neostigmine</b>				0.8	35.1	43.8
<b>Galanthamine*</b>				0.4	18.6	46.5

The half maximum inhibitory concentration ( $\mu M$ ) of compounds against hAChE or hBuChE were measured using Ellman's method described previously.<sup>35</sup>

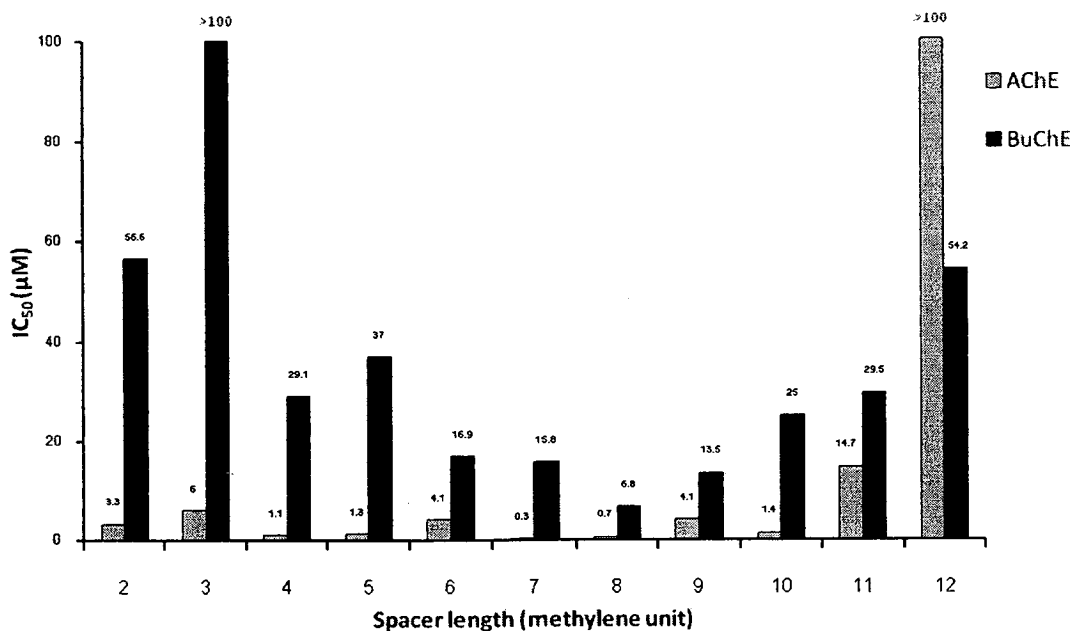
\* $IC_{50}$  of galanthamine is taken from reference 36.

ผลการศึกษาข้างต้นแสดงให้เห็นว่าโครงสร้างสารอนุพันธุ์ใหม่คุนารินที่มี spacer length ระหว่างโครงสร้าง 7-hydroxycoumarin และ piperidine อยู่ในช่วง 2 ถึง 7 methylene units (2a–g) (ยกเว้นโครงสร้าง 2b) มีฤทธิ์ขับยังการทำงานของเอนไซม์ AChE และ BuChE ได้เพิ่มมากขึ้น แสดงดังรูปที่ 7 และพบว่าโครงสร้าง 2f เป็นโครงสร้างที่มีฤทธิ์ในการขับยังการทำงานของเอนไซม์ AChE ได้สูงที่สุด โดยมีค่า  $IC_{50} = 0.3 \mu M$  และพบว่าหากเพิ่ม spacer length มากขึ้นกลับทำให้ได้สารที่มีฤทธิ์ขับยังการทำงานของเอนไซม์ AChE ได้ลดลง โดยผู้วิจัยพบว่า

โคลีนเอสเทอเรสสายพันธุ์มุนหุยของสารอนุพันธ์คูมาrin

สารที่มี methylene unit ออยู่ในช่วง 8-12 units เช่น สาร 2g-k จะมีฤทธิ์ในการขับย้งการทำงานของเอนไซม์ AChE ได้ดีกว่าสาร 2f

ผลการศึกษาฤทธิ์ขับย้งการทำงานของเอนไซม์ BuChE พบว่าเป็นไปในทางเดียวกับฤทธิ์ในการขับย้งการทำงานของเอนไซม์ AChE และโครงสร้าง 2f ที่ยังคงเป็นโครงสร้างที่มีฤทธิ์ในการขับย้งการทำงานของเอนไซม์ BuChE ได้สูงที่สุด โดยมีค่า  $IC_{50} = 15.8 \mu M$  และพบว่าหากเพิ่มความยาว spacer length จะทำให้ได้สารที่มีฤทธิ์ขับย้งการทำงานของเอนไซม์ BuChE ได้เพิ่มมากขึ้นด้วย นอกจากนี้ผู้วิจัยยังพบว่าโครงสร้าง 2g มีฤทธิ์ในการขับย้งการทำงานของเอนไซม์ BuChE โดยมีค่า  $IC_{50} = 6.8 \mu M$  ในขณะที่หากมีการเพิ่ม spacer length จะพบว่าสารมีฤทธิ์ขับย้งการทำงานของเอนไซม์ BuChE ได้ลดลง



รูปที่ 7. ความเข้มข้นของสารอนุพันธ์ piperidine ที่สามารถขับย้งการทำงานของเอนไซม์ AChE และ BuChE ได้ร้อยละ 50 ( $IC_{50}$ )

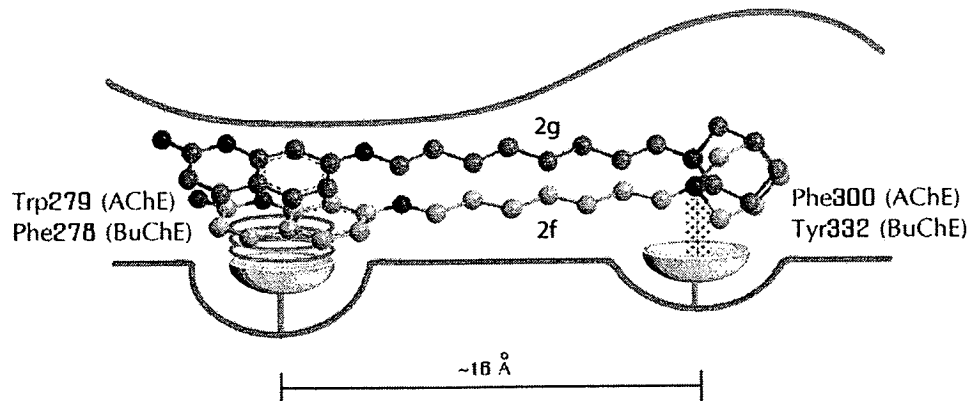
หมายเหตุ: โครงสร้างสารที่มี spacer length ระหว่าง 7-hydroxycoumarin และ piperidine ออยู่ในช่วง 7-9 methylene unit สามารถออกฤทธิ์ขับย้งการทำงานของเอนไซม์ AChE และ BuChE ได้แรงมากขึ้น

ผลการศึกษาแสดงให้เห็นว่าโครงสร้าง 2f และ 2g มีค่า  $IC_{50}$  ในการขับย้งการทำงานของเอนไซม์ AChE และ BuChE ได้ต่ำที่สุด ซึ่งโครงสร้างทั้งสองมี spacer length ออยู่ในช่วง 7 และ 8 methylene unit ตามลำดับ ผลการวัดระยะห่างโครงสร้าง 2f และ 2g ตั้งแต่ basic nitrogen ถึงโครงสร้างคูมาrin โดยใช้ Chem3D software พบว่า มีระยะห่างประมาณ 16-18 Å ซึ่งพบว่าเป็นระยะห่างเท่าๆ กับระยะห่างระหว่าง amino acid ของ peripheral anionic site (PAS) และ mid-Gorge site (MGS) ของเอนไซม์ AChE และ BuChE พอดี ผลการศึกษาดังกล่าวชี้

โคลีนอสเทอเรสสายพันธุ์มนุษย์ของสารอนุพันธ์คุณาริน

เป็นข้อมูลที่ช่วยสนับสนุนสมติฐานว่าโครงสร้างคุณารินและ amine nitrogen ของโครงสร้าง 2f และ 2g น่าจะสามารถทำปฏิกิริยากับ amino acid ที่บริเวณ PAS และ MGS ของเอนไซม์ AChE และ BuChE ได้

ผลการศึกษาข้างแสดงให้เห็นว่าโครงสร้างคุณารินของสาร 2f เกิด hydrophobic ( $\pi-\pi$ ) interaction กับ amino acid Trp279 ของเอนไซม์ hAChE หรือ กับ amino acid Phe278 ของเอนไซม์ hBuChE และโครงสร้างคุณารินของสาร 2g เกิด cation- $\pi$  interaction กับ amino acid Phe300 ของเอนไซม์ hAChE หรือกับ amino acid Tyr332 ของเอนไซม์ hBuChE แสดงดังรูปที่ 8



รูปที่ 8. รูปแสดงการเกิดปฏิกิริยาการจับของโครงสร้าง 2f และ 2g ที่ binding pockets ของเอนไซม์ AChE และ BuChE ตามลำดับ

หากพิจารณาในแง่ความจำเพาะ (selectivity) ต่อการจับกับเอนไซม์ AChE ของสารกลุ่มนี้ (2a-k) พบว่าสาร 2h และ 2j มีฤทธิ์เป็น non-selective มากที่สุด เนื่องจากผลการศึกษาพบว่าสารทั้งสองมีค่า  $IC_{50}$  สำหรับเอนไซม์ AChE เป็น  $4.1 \mu M$  และ  $14.7 \mu M$  และ  $IC_{50}$  สำหรับเอนไซม์ BuChE เป็น  $13.5 \mu M$  และ  $29.5 \mu M$  ตามลำดับ ดังนั้นสารทั้งสองจึงมีความจำเพาะต่อการจับกับเอนไซม์ AChE มากกว่าการจับกับเอนไซม์ BuChE เพียง 2-3 เท่า เท่านั้น โดยที่สาร 2h มีฤทธิ์ในการขับยั้งการทำงานของเอนไซม์ AChE และ BuChE ได้มากกว่าสาร 2j (รายละเอียดผลการศึกษาแสดงดังตารางที่ 1)

เนื่องจากการศึกษานี้มีวัตถุประสงค์ คือ เพื่อค้นหาสารที่มีฤทธิ์แรงในการขับยั้งการทำงานของเอนไซม์ AChE และ BuChE ดังนั้นผู้วิจัยจึงเลือกสาร 2f, 2g และ 2h ที่มี spacer length ระหว่างโครงสร้างคุณาริน และ amine ที่ 7, 8, และ 9 methylene unit เป็นสารด้านบน โดยสาร 2f และ 2g ถูกเลือกเป็นสารด้านบนเนื่องจากสารทั้งสองมีฤทธิ์สูงในการขับยั้งการทำงานของเอนไซม์ AChE และ BuChE ในขณะที่ผู้วิจัยเลือกสาร 2h เนื่องจากสารดังกล่าวออกฤทธิ์แบบ non selective จากนั้นผู้วิจัยจึงทำการสังเคราะห์สารอนุพันธ์คุณารินเข็นใหม่ โดยแทนที่โครงสร้างส่วน piperidine ring ของสาร 2f-h ด้วยหมู่ amine ต่างๆ เช่น pyrrolidine (3a-c), diethylamine (4a-c), morpholine (5a-c), N-methylpiperazine (6a-c), 1,2,3,4-tetrahydroisoquinoline (7a-c), และ 6,7-dimethoxy-1,2,3,4-tetrahydroisoquinoline (8a-c) ดังแสดงในตารางที่ 1

ผลการศึกษาพบว่าสารอนุพันธ์ pyrrolidine เช่น สาร 3a-c มีฤทธิ์ขับยั้งการทำงานของเอนไซม์ได้เทียบเท่ากับสารอนุพันธ์ piperidine (2f-h) สาร 3a ที่มี spacer length 7 methylene unit พบว่ามีฤทธิ์ขับยั้งการทำงานของเอนไซม์สูงที่สุด จากการทดสอบฤทธิ์พบว่าสาร 3a มีค่า  $IC_{50}$  ของการขับยั้งการทำงานของเอนไซม์ AChE =

0.3  $\mu\text{M}$  และพบว่ามีค่า  $IC_{50}$  ของการขับยั้งการทำงานของเอนไซม์ BuChE เท่าๆกับสาร 3c โดยมีค่า  $IC_{50} = 8.4 \mu\text{M}$  สำหรับสาร 3a และ  $IC_{50} = 5.3 \mu\text{M}$  สำหรับสาร 3c แต่พบว่าสารนี้ออกฤทธิ์แบบ non selective โดยมีความจำเพาะต่อการขับยั้งเอนไซม์ AChE ได้นากกว่าเอนไซม์ BuChE ประมาณ 2 เท่า

ผลการแทนที่โครงสร้างส่วน piperidine ของสาร 2f-h ด้วยโครงสร้าง diethylamine ทำให้ได้สาร 4a-c ซึ่งผลการทดสอบฤทธิ์ขับยั้งการทำงานของเอนไซม์ AChE พบว่ามีฤทธิ์แรงในการขับยั้งเอนไซม์ โดยมีค่า  $IC_{50} = 0.7 \mu\text{M}$ ,  $1.6 \mu\text{M}$ , และ  $2.6 \mu\text{M}$  ตามลำดับ แต่กลับพบว่าสาร 4a-c ไม่มีฤทธิ์ขับยั้งการทำงานของเอนไซม์ BuChE โดยมีค่า  $IC_{50} > 100 \mu\text{M}$  ผลการศึกษาแสดงให้เห็นว่างครั้งการแทนที่ด้วยโครงสร้างที่พอดี และสามารถจับกับ binding pocket site ของเอนไซม์ได้ ก็อาจไม่ได้ฤทธิ์ที่ดีในการขับยั้งการทำงานของเอนไซม์ AChE และ BuChE ได้เสนอไป ผลการศึกษาดังกล่าวจึงเป็นข้อมูลสำคัญที่ยืนยันได้ว่า binding pocket ที่ MGS ของเอนไซม์ BuChE แคบกว่าของเอนไซม์ AChE มาก แสดงดังรูปที่ 5

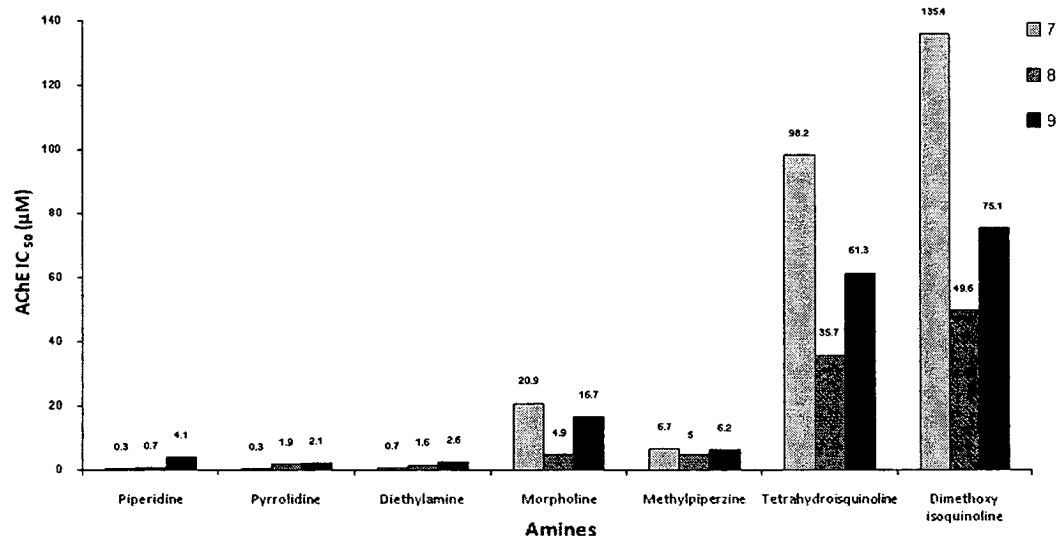
ผลการแทนที่โครงสร้าง piperidine ring ของสาร 2f-h ด้วยโครงสร้าง morpholine และ N-methylpiperazine ทำให้ได้สาร 5a-c และ 6a-c ตามลำดับ ซึ่งสารเหล่านี้มีฤทธิ์ขับยั้งการทำงานของเอนไซม์ AChE และ BuChE ได้น้อย เมื่อเปรียบเทียบกับสาร piperidine analogs ตัวอื่น และสำหรับสารในกลุ่มนี้ที่แสดงฤทธิ์สูงสุดในการขับยั้งการทำงานของเอนไซม์ AChE และ BuChE คือ สาร 5b ผลการศึกษาพบว่าสารนี้มีค่า  $IC_{50}$  ของการขับยั้งการทำงานของเอนไซม์ AChE และ BuChE คือ  $4.9 \mu\text{M}$  และ  $28.6 \mu\text{M}$  ตามลำดับ ผลการศึกษาแสดงในตารางที่ 1

ผู้วิจัยพบว่าการลด และเพิ่ม spacer length พบรูปในสาร 5a และ 5c ทำให้สารมีฤทธิ์ในการขับยั้งการทำงานของเอนไซม์ AChE และ BuChE ได้ลดลง และเมื่อเปรียบเทียบกับฤทธิ์ในการขับยั้งการทำงานของเอนไซม์ AChE และ BuChE ระหว่างสารอนุพันธ์ piperidine 2f-h และอนุพันธ์ N-methylpiperazine 6a-c พบรูปว่า มีค่า  $IC_{50}$  ของการขับยั้งการทำงานของเอนไซม์ AChE คือ  $6.7 \mu\text{M}$ ,  $5.0 \mu\text{M}$  และ  $6.2 \mu\text{M}$  ตามลำดับ ในขณะที่พบว่าไม่มีฤทธิ์ขับยั้งการทำงานของเอนไซม์ BuChE โดยมีค่า  $IC_{50} > 100 \mu\text{M}$  ผลการศึกษาดังกล่าวแสดงให้เห็นว่าการเดินหมู่ basic nitrogen และ methyl group of N-methylpiperazine จะลดฤทธิ์ในการขับยั้งการทำงานโดยเฉพาะเอนไซม์ BuChE ผ่าน steric และ/หรือ electrostatic effects แต่ย่างไรก็ตามสาร 6a-c ยังคงสามารถนำไปใช้เพื่อพัฒนาต่อให้มีความจำเพาะต่อการขับยั้งการทำงานของเอนไซม์ AChE ได้

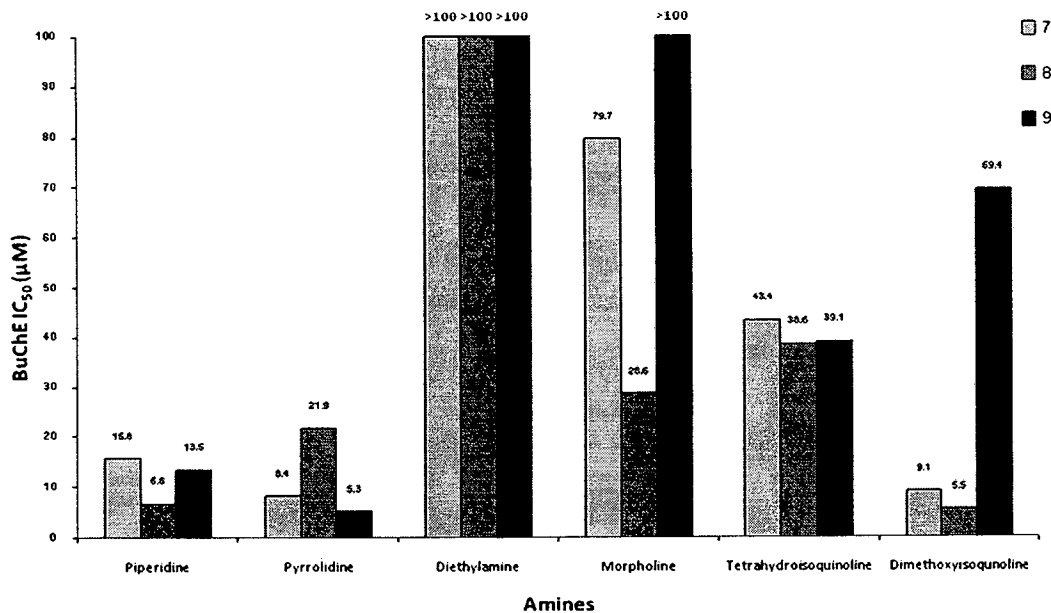
เพื่อให้ได้สารที่มีโครงสร้างเหมาะสมมากยิ่งขึ้นในการจับกับ MGS binding pocket site ของเอนไซม์ AChE และ BuChE ผู้วิจัยจึงศึกษาโดยการแทนที่โครงสร้าง piperidine ring ของสาร 2f-h ด้วยหมู่ amine ที่มี molecular volume ใหญ่ขึ้น ซึ่งประกอบไปด้วย tetrahydroisoquinoline (7a-c) และ dimethoxy tetrahydroisoquinoline (8a-c) ผลการศึกษาพบว่าสาร 7a-c บังคับแสดงฤทธิ์ขับยั้งการทำงานของเอนไซม์ AChE และ BuChE ได้ และเมื่อเปรียบเทียบกับอนุพันธ์ piperidine 2f-h พบรูปว่าสาร 7a-b มีฤทธิ์ค่อนข้างต่ำในการขับยั้งการทำงานของเอนไซม์ AChE แต่กลับมีฤทธิ์สูงในการขับยั้งการทำงานของเอนไซม์ BuChE ผลการศึกษาดังกล่าวแสดงให้เห็นว่า binding pocket ที่ MGS ของเอนไซม์ AChE น่าจะมีขนาดเล็กกว่าของเอนไซม์ BuChE และการเพิ่มขึ้นของฤทธิ์ในการขับยั้งการทำงานของเอนไซม์ของสาร 7a และ 7b อาจเป็นผลจากการเพิ่ม  $\pi-\pi$  interaction ระหว่างโครงสร้าง benzene ring ของ tetrahydroisoquinoline และ aromatic amino acid ที่อยู่ใกล้กัน และเป็นที่น่าสนใจว่าสาร 7b ออกฤทธิ์ขับยั้งการทำงานของเอนไซม์แบบ non selective โดยมีค่า  $IC_{50}$  ของการขับยั้งการทำงานของเอนไซม์ AChE และ BuChE คือ  $7.9 \mu\text{M}$  และ  $5.5 \mu\text{M}$  ตามลำดับ ในขณะที่พบว่าสาร 7a มีความจำเพาะต่อการขับยั้งการทำงานของเอนไซม์ BuChE สูงที่สุด โดยมีค่า  $IC_{50}$  ของการขับยั้งการทำงานของ

โคลีนอสเทอเรสสายพันธุ์มนุษย์ของสารอนุพันธุ์คูมาริน

เอนไซม์ AChE และ BuChE คือ  $23.8 \mu\text{M}$  และ  $9.1 \mu\text{M}$  ตามลำดับ ผลการศึกษาโดยละเอียดแสดงดังตารางที่ 3-1 ซึ่งการเพิ่มน้ำหนักของความแรงในการยับยั้งการทำงานของเอนไซม์ BuChE ของสาร 7a และ 7b และการลดลงของความแรงในการยับยั้งการทำงานของเอนไซม์ BuChE ของสาร 4a-c เป็นข้อมูลที่สามารถยืนยันได้ว่า binding pocket ที่ MGS มีลักษณะแคบ และลึก (deep-narrow shape) แสดงดังรูปที่ 3-7 อย่างไรก็ตามผลจากการเพิ่มน้ำหนักของความแรงในการยับยั้งการทำงานของเอนไซม์ AChE และ BuChE ได้น้อยกว่าสาร 7a-c ดังแสดงในตารางที่ 2 และรูปที่ 9 และ 10



รูป 9. กราฟแสดงค่า  $\text{IC}_{50}$  ของสาร 2f-h, 3a-c, 4a-c, 5a-c, 6a-c, 7a-c และ 8a-c สำหรับเอนไซม์ AChE



รูปที่ 10. กราฟแสดงค่า  $\text{IC}_{50}$  ของสาร 2f-h, 3a-c, 4a-c, 5a-c, 6a-c, 7a-c และ 8a-c สำหรับเอนไซม์ BuChE

การศึกษานี้สมมติฐาน คือ โครงสร้างคูมารินน่าจะสามารถจับกับ PAS ของเอนไซม์ AChE และ BuChE ได้ ดังนั้นการป้องกันไม่ให้โครงสร้างคูมารินเข้าไปในเอนไซม์จึงสามารถทำได้โดยการเพิ่ม molecular volume ของโครงสร้างคูมาริน นอกจากนี้ในการศึกษาต่างๆมีการรายงานว่าสารคูมารินสามารถถูก metabolite และเกิดเป็น toxic metabolite คือ 3,4-coumarin epoxide ผ่าน epoxidation pathway ดังนั้นผู้วิจัยจึงออกแบบ และสังเคราะห์โครงสร้าง 3-substituted-7-hydroxycoumarins (9–11) ขึ้น จากนั้นผู้วิจัยจึงนำสารคูมารินส์ที่มีโครงสร้างเป็น 7-hydroxycoumarin และ 3-substituted derivatives มาทดสอบฤทธิ์ขับยับการทำงานของเอนไซม์ AChE และ BuChE ที่ความเข้มข้นของสารทดสอบ 1 mM ดังแสดงในตารางที่ 3

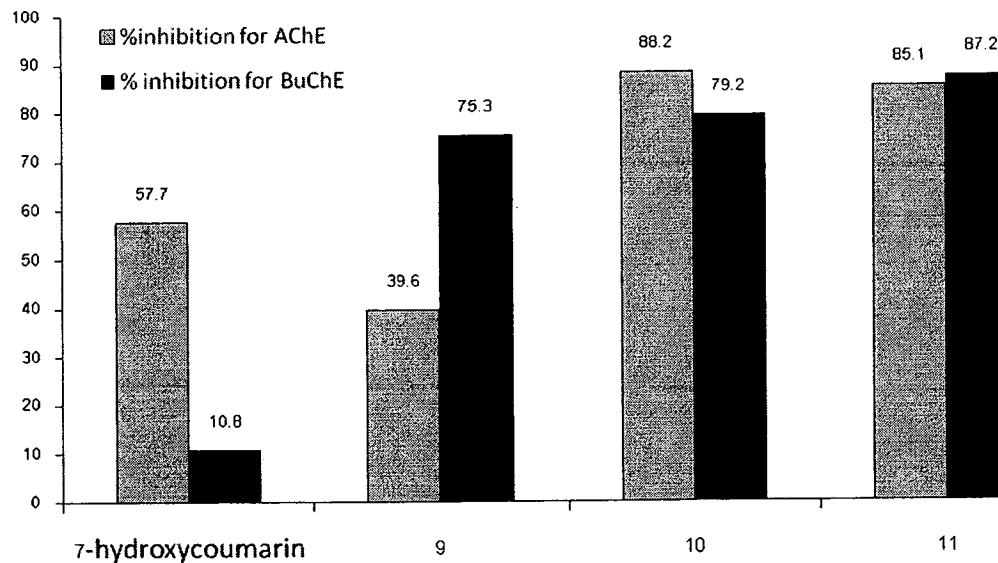
**ตารางที่ 3 ผลการศึกษาฤทธิ์ขับยั้งการทำงานของสาร 7-hydroxycoumarin และ 3-substituted-7-hydroxycoumarins  
ในการขับยั้งการทำงานของเอนไซม์ AChE และ BuChE**

No	RKNU	Structure	% Inhibition for hAChE	% Inhibition for hBuChE
9	34		39.6	75.3
10	35		88.2	79.2
11	38		85.1	87.2
<b>7-hydroxycoumarin</b>			57.7	10.8

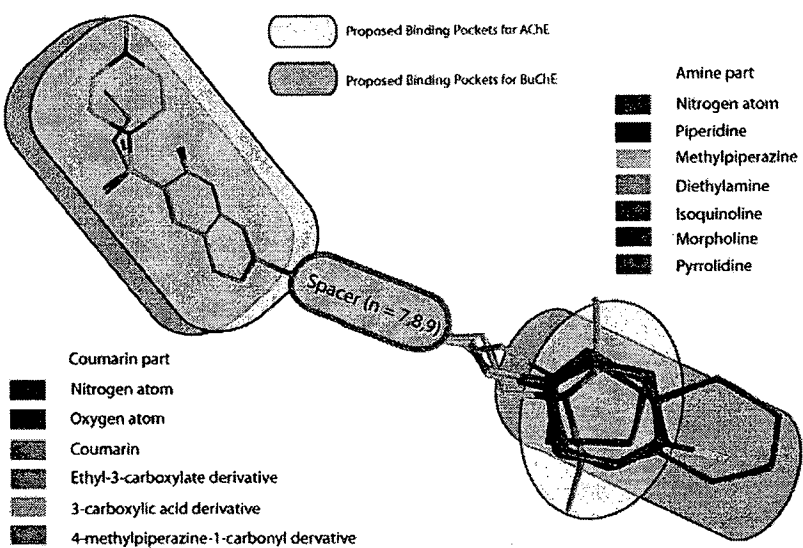
% inhibition of the compounds were measured at concentration of 1 mM using Ellman's method.

ผลการศึกษาพบว่าสาร 7-hydroxycoumarin ที่ความเข้มข้น 1mM มี % inhibition ต่อเอนไซม์ AChE และ BuChE เป็น 57.7 และ 10.8 ตามลำดับ ในขณะที่หากเป็นโครงสร้าง 3-substituted-7-hydroxycoumarin derivatives ยกเว้น 3-carboxylic derivative (9) จะมีฤทธิ์ขับยั้งการทำงานของเอนไซม์ AChE และ BuChE มากกว่า 7-hydroxycoumarin และ 3-carboxylic derivative (9) มีฤทธิ์ขับยั้งการทำงานของเอนไซม์ AChE และ BuChE มากกว่า 7-hydroxycoumarin และ 3-carboxylic derivative (9) มีฤทธิ์ข้ออยในการขับยั้งการทำงานของเอนไซม์ AChE โดย มี % inhibition ที่ความเข้มข้น 1 mM เป็น 39.6 และมีฤทธิ์มากขึ้นต่อการขับยั้งการทำงานของเอนไซม์ BuChE โดยมี % inhibition ที่ความเข้มข้น 1 mM เป็น 75.3 ผลการศึกษาดังกล่าวแสดงให้เห็นว่าผลของ acid functionality อาจลดการเกิดปฏิกิริยาระหว่างสาร 3-carboxylic derivative (9) และ amino acid ที่ PAS binding pocket side ของ เอนไซม์ AChE และพบว่าการมี carboxylic group ในโครงสร้างจะช่วยเพิ่มความสามารถในการจับที่ binding pocket site ได้ดีขึ้น อันเป็นผลสืบเนื่องมาจากการเพิ่มขึ้นของ molecular volume ผลการศึกษาที่พน้ำยังด้านตรงกัน ลิ่งที่พนใน การศึกษาอนุพันธุ์สาร ethyl ester (10) และ amide (11) โดยสาร 10 และ 11 แสดง % inhibition ต่อ เอนไซม์ AChE ที่ความเข้มข้นของสาร 1 mM เป็น 88.2 และ 85.1 ตามลำดับ

ดังนั้นผลการศึกษาข้างต้นจึงเป็นข้อสนับสนุนว่าขนาดของ molecular volume มีผลต่อการเกิดปฏิกิริยา ที่ PAS binding site ของทั้งเอนไซม์ AChE และ BuChE และผลตั้งกล่าวทำให้ผู้อ่านเข้าใจภาพผลของการแทนที่ โครงสร้าง 7-hydroxycoumarin core structure ด้วยสารกลุ่ม ethyl 7-hydroxy-2-oxo-2H-chromene-3-carboxylate(10) และ 7-hydroxy-3-(4-methylpiperazine-1-carbonyl)-2H-chromen-2-one (11) ผลการศึกษาแสดง ในรูปที่ 11 และ 12



รูปที่ 11 กราฟแสดง %inhibition ของสาร 7-hydroxy coumarin และ 3-substituted derivative ที่ความเข้มข้น 1 mM สำหรับเอนไซม์ AChE และ BuChE



รูปที่ 12 การจับของสารอนุพันธ์ไนโม่คูมาrin กับ binding pockets site ของเอนไซม์ AChE และ BuChE.

ตารางที่ 4 การทดสอบผลของสารอนุพันธ์ coumarin ต่อ cell viability ในเซลล์ประสาทเพาะเลี้ยง (neuroblastoma cell)

No	RKNU	n	Amines	IC <sub>50</sub> (M)
3a	53	7		0.03
3b	54	8		0.06
3c	55	9		0.035
4a	59	7		0.018
4b	60	8		0.067
4c	61	9		0.003
5a	50	7		0.078
5b	51	8		0.89
5c	52	9		0.004
6a	56	7		0.013
6b	57	8		0.003
6c	58	9		0.025
7a	47	7		0.004
7b	48	8		0.021
7c	49	9		0.067
8a	44	7		0.005
8b	45	8		0.004
8c	46	9		0.054

จากการศึกษาผลของสารอนุพันธ์ coumarin ต่อ cell viability ในเซลล์ประสาทเพาะเลี้ยง (neuroblastoma cell) พบว่าค่า IC<sub>50</sub> ที่ได้อุ่นช่วงที่สูงแสดงถึงความปลดภัยของสารอนุพันธ์คูมาrin เพราะช่วงของการยับยั้ง AChE และ BuChE อยู่ต่ำกว่า IC<sub>50</sub> ของ neuroblastoma cell viability มากกว่าพันเท่า